



การพัฒนาหุ่นยนต์เคลื่อนที่เดิน 2 ขาโดยการใช้หลักการสร้างวิถีการเดิน

Development of Biped Locomotion Robot Using
Trajectory Generation Method



ปริญญาบัณฑิตนี้เป็นส่วนหนึ่งของการศึกษาหลักสูตรปริญญาวิศวกรรมศาสตรบัณฑิต
สาขาวิชาชีวกรรมไฟฟ้า ภาควิชาชีวกรรมไฟฟ้าและคอมพิวเตอร์
คณะวิศวกรรมศาสตร์ มหาวิทยาลัยนเรศวร

ปีการศึกษา ๒๕๔๘

ห้องสมุดคณะวิศวกรรมศาสตร์
วันที่รับ..... ๑/๗/๖๙
เลขทะเบียน..... 4900010
เลขเรียกหนังสือ.....
มหาวิทยาลัยนเรศวร

4900010



ใบรับรองโครงการวิศวกรรมไฟฟ้า

หัวข้อโครงการวิศวกรรมไฟฟ้า

: การพัฒนาหุ่นยนต์เคลื่อนที่เดิน 2 ขา โดยการใช้
หลักการสร้างวิถีการเดิน

ผู้ดำเนินงานวิศวกรรมไฟฟ้า

: นายภูวนารถ トイบำรุง รหัส 45363017
นายวัฒเนพงศ์ คุยเพียญมี รหัส 45363140
นายสุรศักดิ์ ปันวรรณา รหัส 45363181
นายเอกสิทธิ์ รัชชะกุล รหัส 45363298

ที่ปรึกษาโครงการวิศวกรรมไฟฟ้า

: ดร. สมยศ เกียรติวนิชวิไล

สาขาวิชา

: วิศวกรรมไฟฟ้า

ภาควิชา

: วิศวกรรมไฟฟ้าและคอมพิวเตอร์

คณะวิศวกรรมศาสตร์ มหาวิทยาลัยมหิดล

คณะวิศวกรรมศาสตร์ มหาวิทยาลัยมหิดล อนุมติให้โครงการวิศวกรรมไฟฟ้านับนี้
เป็นส่วนหนึ่งของการศึกษาตามหลักสูตร วิศวกรรมศาสตรบัณฑิต สาขาวิศวกรรมไฟฟ้า
คณะกรรมการสอบโครงการวิศวกรรมไฟฟ้า

.....ประธานกรรมการ
(ดร. สมยศ เกียรติวนิชวิไล)

.....กรรมการ
(ดร. ฉูเรชย์ กานต์ประชา)

.....กรรมการ
(ดร. สมพร เรืองสินชัยวนิช)

ก. อ......กรรมการ
(อาจารย์พนัส นัดฤทธิ์)

น. ร......กรรมการ
(อาจารย์ปีกนัย ภาชนะพรรรณ์)



หัวข้อโครงการ	การพัฒนาหุ่นยนต์เคลื่อนที่เดิน 2 ขา โดยการใช้หลักการสร้างวิถีการเดิน			
ผู้ดำเนินโครงการ	นายกุญารถ โตกำรุง	รหัส	45363017	
	นายวัฒนพงศ์ คุณพีญกูนิ	รหัส	45363140	
	นายสุรศักดิ์ ปันวรรณ	รหัส	45363181	
	นายเอกสิทธิ์ รัชชะกุล	รหัส	45363298	
อาจารย์ที่ปรึกษา	ดร. สมยศ เกียรติวนิชวิไล			
สาขาวิชา	วิศวกรรมไฟฟ้า			
ภาควิชา	วิศวกรรมไฟฟ้าและคอมพิวเตอร์			
ปีการศึกษา	2548			

บทคัดย่อ

โครงการนี้พัฒนาการเคลื่อนที่ของหุ่นยนต์เดิน 2 ขา โดยที่ขาทั้ง 2 ข้างประกอบไปด้วย การ เชื่อมต่อทั้ง 6 จุดบนนุ่น โครงสร้างของหุ่นยนต์ประกอบไปด้วยข้อหมุน 6 ข้อ ได้แก่ ข้อหมุนตำแหน่งหัว เช่า 2 ข้าง 2 ข้อหมุน, สะโพก 2 ข้าง 2 ข้อหมุน และข้อเท้า 2 ข้อหมุนซึ่งเป็นตัวสำคัญของโครงสร้าง หุ่นยนต์ การค้นพบเคลื่อนจะใช้เซอร์โวมอเตอร์ โดยกำหนดครูปแบบการเคลื่อนที่ไว้ 4 ขั้นตอนคือ ขั้นตอน การเริ่มเดิน โดยการสร้างแนววิถีการเดิน ขั้นตอนการก้าวขาเพื่อรับน้ำหนักจากการสร้างแนววิถีการเดิน ขั้นตอนการเปลี่ยนจุดสมดุลเพื่อเตรียมเดินและขั้นตอนสุดท้าย คือ การหยุดเดิน โดยที่ โครงงานของเรา นั้นจะทำการทดสอบหุ่นยนต์บิเวณพื้นที่ที่มีความราบรื่นมาก สำหรับจุดที่เดินได้ ผลการทดลอง แสดงให้เห็นถึงความสามารถของหุ่นยนต์ที่พัฒนาขึ้น

Project Title	Development of Biped Locomotion Robot Using Trajectory Generation Method			
Name	Mr. Puwanart	Tobamrung	ID	45363017
	Mr. Wattanaphong	Kuypheaphoum	ID	45363140
	Mr. Surasak	Pinwanna	ID	45363181
	Mr. Ekkasit	Ratchahakul	ID	45363231
Project Advisor	Dr. Somyot	Kiattivanichvilai		
Major	Electrical Engineering			
Department	Electrical and Computer Engineering			
Academic Year	2005			

ABSTRACT

This project develops the locomotion of a biped robot. The robot's legs are composed of 6 linkages. There are 6 joints in the robot structure, 2 joints for both knees, 2 joints for hips and 2 joints for ankle. Driving system in this robot is using the servo motor system. The locomotion pattern has 4 steps, start the trajectory locomotion, stepping motion to support the weight by trajectory locomotion, balancing and stopping. In this project, the biped robot is evaluated in a smooth and planar area without obstacle. The results show the ability of developed robot.

สารบัญ

หน้าที่

บทคัดย่อภาษาไทย..... ก

บทคัดย่อภาษาอังกฤษ..... ข

สารบัญ..... ก

สารบัญตาราง..... ง

สารบัญรูป..... จ

บทที่ 1 บทนำ

1.1 ที่มาและความสำคัญของโครงการ..... 1

1.2 วัตถุประสงค์ของโครงการ..... 2

1.3 ขอบข่ายของโครงการ..... 2

1.4 ขั้นตอนการดำเนินงาน..... 2

1.5 แผนการดำเนิน..... 3

1.6 ผลที่คาดว่าจะได้รับ..... 4

1.7 งบประมาณของโครงการ..... 4

บทที่ 2 ทฤษฎีของทุนยนต์เดิน 2 ขา

2.1 ประวัติการพัฒนาทุนยนต์ 2 ขา..... 5

2.2 คิเนมติกส์ (Kinematics)..... 7

2.3 จุดศูนย์ถ่วง (Center of Gravity : CG)..... 8

2.4 การคำนวณหาระยะห่างระหว่างขา..... 8

2.5 การคำนวณหาจุดศูนย์ถ่วงมวลของทุนยนต์..... 11

2.6 การวิเคราะห์ตำแหน่งจุดศูนย์ถ่วงมวลของทุนยนต์..... 14

บทที่ 3 วิธีการดำเนินงาน

3.1 การควบคุมเชอร์โวนอเตอร์..... 16

บทที่ 4 ผลการทดลอง

4.1 การใช้ Math lab ในการคำนวณหาจุดศูนย์ถ่วงมวล..... 21

สารบัญ

หน้าที่

4.2 ผลการเปรียบเทียบระหว่างมุนท์ที่ต้องการกับมุนท์ที่ได้จากการทดลองจริง และ grafic เสเดง	27
ตำแหน่งจุดศูนย์ถ่วงมวล.....	
4.3 การเปรียบเทียบรูปการเดินระหว่างทุ่นยกต์จริงกับรูปจากการจำลองด้วยโปรแกรม.....	30
ทางเดินของจุดศูนย์ถ่วงมวลตลอดขั้นตอนการเดิน.....	
4.4 ทางเดินของจุดศูนย์ถ่วงมวลตลอดขั้นตอนการเดิน.....	35
บทที่ 5 บทสรุป	
5.1 สรุปผล.....	37
5.2 ปัญหา ข้อเสนอแนะ และแนวทางแก้ไข.....	
5.3 แนวทางในการพัฒนาในอนาคต.....	
เอกสารอ้างอิง.....	39
ภาคผนวก	40



สารบัญตาราง

ตารางที่	หน้าที่
1.1 แผนการดำเนินงาน.....	3
3.1 ค่าเวลาที่สั่งให้เชอร์โวนอเตอร์แต่ละตัวหนุนไป 1 องศาในทิศทางต่างๆ กัน.....	20
4.1 ค่าของมุมและเวลาหน่วงในช่วงที่สัญญาณที่เป็นโลจิก “1”.....	27
4.2 ค่าของมุมและเวลาหน่วงในช่วงที่สัญญาณที่เป็นโลจิก “1”.....	28
ภาคผนวก 1 ค่าของมุมและเวลาหน่วงในช่วงที่สัญญาณที่เป็นโลจิก “1”.....	41
ภาคผนวก 2 ค่าของมุมและเวลาหน่วงในช่วงที่สัญญาณที่เป็นโลจิก “1”.....	42
ภาคผนวก 3 ค่าของมุมและเวลาหน่วงในช่วงที่สัญญาณที่เป็นโลจิก “1”.....	43
ภาคผนวก 4 ค่าของมุมและเวลาหน่วงในช่วงที่สัญญาณที่เป็นโลจิก “1”.....	44
ภาคผนวก 5 ค่าของมุมและเวลาหน่วงในช่วงที่สัญญาณที่เป็นโลจิก “1”.....	45
ภาคผนวก 6 ค่าของมุมและเวลาหน่วงในช่วงที่สัญญาณที่เป็นโลจิก “1”.....	46
ภาคผนวก 7 ค่าของมุมและเวลาหน่วงในช่วงที่สัญญาณที่เป็นโลจิก “1”.....	47
ภาคผนวก 8 ค่าของมุมและเวลาหน่วงในช่วงที่สัญญาณที่เป็นโลจิก “1”.....	48
ภาคผนวก 9 ค่าของมุมและเวลาหน่วงในช่วงที่สัญญาณที่เป็นโลจิก “1”.....	49
ภาคผนวก 10 ค่าของมุมและเวลาหน่วงในช่วงที่สัญญาณที่เป็นโลจิก “1”.....	50
ภาคผนวก 11 ค่าของมุมและเวลาหน่วงในช่วงที่สัญญาณที่เป็นโลจิก “1”.....	51
ภาคผนวก 12 ค่าของมุมและเวลาหน่วงในช่วงที่สัญญาณที่เป็นโลจิก “1”.....	52
ภาคผนวก 13 ค่าของมุมและเวลาหน่วงในช่วงที่สัญญาณที่เป็นโลจิก “1”.....	53
ภาคผนวก 14 ค่าของมุมและเวลาหน่วงในช่วงที่สัญญาณที่เป็นโลจิก “1”.....	54
ภาคผนวก 15 ค่าของมุมและเวลาหน่วงในช่วงที่สัญญาณที่เป็นโลจิก “1”.....	55
ภาคผนวก 16 ค่าของมุมและเวลาหน่วงในช่วงที่สัญญาณที่เป็นโลจิก “1”.....	56
ภาคผนวก 17 ค่าของมุมและเวลาหน่วงในช่วงที่สัญญาณที่เป็นโลจิก “1”.....	57

สารบัญรูป

รูปที่	หน้าที่
2.1 ตำแหน่งพิกัดและจุดต่าง ๆ บนชิ้นส่วนที่เชื่อมต่อกัน.....	7
2.2 ตำแหน่งจุด CG ของวัตถุในแต่ละสถานะ.....	8
2.3 มุมของขาท่อต่างๆ.....	9
2.4 จุดศูนย์ตัวงของขาท่อต่างๆ.....	11
2.5 ระนาบเส้นจำนวนจริง.....	13
 3.1 ขั้นตอนการดำเนินงาน.....	 16
3.2 ตัวอย่างพล๊อกที่ป้อนเข้าซอฟต์แวร์โวโนเมตอร์ เพื่อทำการหมุนไปที่ตำแหน่ง 0 องศา.....	17
3.3 ตัวอย่างพล๊อกที่ป้อนเข้าซอฟต์แวร์โวโนเมตอร์ เพื่อทำการหมุนไปที่ตำแหน่ง 90 องศา(หวาน้ำ)..	18
3.4 ตัวอย่างพล๊อกที่ป้อนเข้าซอฟต์แวร์โวโนเมตอร์ เพื่อทำการหมุนไปที่ตำแหน่ง 90 องศา(ตามเข็ม).....	19
3.5 มุมของซอฟต์แวร์โวโนเมตอร์ตามที่นิยมไว้.....	20
 4.1 ไฟล์ชาร์ทขั้นตอนการทำงานในโปรแกรมMatlab	 22
4.2 (ก) จุดศูนย์ตัวงมวลที่กำน惋ໄได้เทียบกับฐาน.....	24
4.2 (ข) จุดศูนย์ตัวงมวลเมื่อมองจากด้านล่าง.....	24
4.3 มุมตลอดการเดินของขาข้างขวา แต่ละท่อขาเรียงลำดับจากบนลงล่าง.....	25
4.4 มุมตลอดการเดินของขาข้างซ้าย แต่ละท่อขาเรียงลำดับจากบนลงล่าง.....	25
4.5 การเปรียบเทียบระหว่างมุมที่ต้องการกับมุมที่ได้จากการทดลองจริง และ กราฟแสดงตำแหน่ง จุดศูนย์ตัวงมวล.....	27
4.6 การเปรียบเทียบระหว่างมุมที่ต้องการกับมุมที่ได้จากการทดลองจริง และ กราฟแสดงตำแหน่ง จุดศูนย์ตัวงมวล.....	28
4.7 การเปรียบเทียบรูปการเดินระหว่างทุนยนต์จริงกับรูปจากการจำลองด้วยโปรแกรม.....	30
4.7 (ต่อ)การเปรียบเทียบรูปการเดินระหว่างทุนยนต์จริงกับรูปจากการจำลองด้วยโปรแกรม.....	31
4.7 (ต่อ)การเปรียบเทียบรูปการเดินระหว่างทุนยนต์จริงกับรูปจากการจำลองด้วยโปรแกรม.....	32
4.7 (ต่อ)การเปรียบเทียบรูปการเดินระหว่างทุนยนต์จริงกับรูปจากการจำลองด้วยโปรแกรม.....	33
4.7 (ต่อ)การเปรียบเทียบรูปการเดินระหว่างทุนยนต์จริงกับรูปจากการจำลองด้วยโปรแกรม.....	34
4.8 การเปลี่ยนแปลงจุดศูนย์ตัวงมวลเทียบกับฐานตลอดขั้นตอนการเดินของทุนยนต์.....	35

สารบัญรูป(ต่อ)

บทที่ 1

บทนำ

1.1 ที่มาและความสำคัญของโครงการ

ปัจจุบันการค้นคว้าและการวิจัยในเรื่องของหุ่นยนต์นั้นมีอย่างแพร่หลายทั้งทางด้านโครงสร้างทางสรีระ และลักษณะ ไม่เดลทางจลศาสตร์ ของหุ่นยนต์ มีหลายองค์กรที่ได้ให้ความสนใจ ไม่ว่าจะเป็น องค์กรที่เกี่ยวกับการศึกษา ทางด้านการทหาร ตลอดจนการนำหุ่นยนต์ไปใช้เพื่ออำนวยความสะดวกให้ มนุษย์มีชีวิตความเป็นอยู่ที่สบายขึ้น ไม่ว่าจะเป็นหุ่นยนต์ที่เคลื่อนที่ด้วย ล้อ ตีนตะขาบ หุ่นยนต์ที่ เคลื่อนที่ด้วย 2 ขา และเคลื่อนที่ด้วยขา หลายๆ ขา เป็นต้น ทั้งนี้ เพราะสถาบันต่าง ๆ เหล่านี้ได้เดินหนึ่ง ถึงสอง ปีชนน์ที่จะได้รับทั้งในปัจจุบันและในอนาคต เนื่องจากมีงานวิจัย และความรู้อื่น ๆ อีก หลากหลายประเภทที่รอให้มนุษย์ทำการค้นพบและศึกษาวิจัยเพิ่มเติม อาทิเช่น ทางด้านการค้นคว้าและการสำรวจ กล่าวคือ ได้มีการนำหุ่นยนต์ไปใช้ในงานเหล่านี้เนื่องจากในสภาวะแวดล้อมบางอย่างนั้น มนุษย์ไม่สามารถเข้าไปปฏิบัติงานได้ ซึ่งอาจจะเนื่องมาจากสภาพที่มีความกดดันอยู่ในช่วงที่มนุษย์ไม่ สามารถที่จะทนได้ สภาพที่เต็มไปด้วยก๊าซพิษ สภาพที่ไม่มีอากาศหายใจหรือในอว拉斯 ซึ่งนั่นก็ หมายถึง สภาพที่มนุษย์คิดว่ามีความเสี่ยงต่อการเกิดความเสียหายแก่ชีวิต และทรัพย์สิน รวมถึงการ ค้นคว้าและวิจัยในด้านอาชีวสังคมนั้นก็ได้มีการนำหุ่นยนต์ไปใช้ประโภชน์ เช่น การสร้างหุ่นยนต์ภู รະเบิด เป็นต้น ทั้งนี้ การที่หุ่นยนต์จะทำงาน ได้มีประสิทธิภาพมากแค่ไหนนั้นขึ้นอยู่กับโครงสร้างของ ตัวหุ่นยนต์เองว่ามีลักษณะใด ในโครงการนี้สนใจการพัฒนาหุ่นยนต์ที่เคลื่อนที่ด้วย 2 ขา เนื่องจากการ ที่มีลักษณะการเคลื่อนไหวที่มีความใกล้เคียงกับการเคลื่อนที่ของมนุษย์เป็นอย่างมาก การเคลื่อนที่ด้วย 2 ขา นั้นมีข้อได้เปรียบเมื่อเทียบกับหุ่นยนต์แบบอื่น อาทิเช่น สามารถเคลื่อนที่ข้ามสิ่งกีดขวางหรือขึ้น- ลง บันไดได้

1.2 วัตถุประสงค์ของโครงการ

- 1.2.1 เพื่อศึกษาและพัฒนาลักษณะการเดินของหุ่นยนต์เดิน 2 ขา ให้มีความสมบูรณ์ยิ่งขึ้น โดยมีการรับคำสั่งจากมนุษย์ผ่านทางคอมพิวเตอร์
- 1.2.2 เพื่อศึกษาการใช้ในโครงการปะทะเซอร์ ในส่วนของการพัฒนาการเดินของหุ่นยนต์เดิน 2 ขา
- 1.2.3 เพื่อพัฒนาโปรแกรมภาษาวิชาลISPic (Visual Basic) และ ภาษา แอสเซมบลี ในการควบคุมหุ่นยนต์ 2 ขา

1.3 ขอบข่ายของโครงการ

- 1.3.1 สร้างแบบจำลองในส่วนท่อนล่างของหุ่นยนต์เดิน 2 ขา
- 1.3.2 บังคับหุ่นยนต์ด้วยมนุษย์ โดยผ่านทางแป้นพิมพ์ โดยการก้าวเดินของหุ่นยนต์นั้นจะต้องไม่ล้มในระยะทางไม่ต่ำกว่า 1 ก้าวเป็นอย่างน้อย
- 1.3.3 การประยุกต์ใช้ความรู้ในเรื่องของศรีระศาสตร์ของการเดินมาใช้กับการเดินของหุ่นยนต์

1.4 ขั้นตอนการดำเนินงาน

- 1.4.1 ศึกษาและค้นคว้าข้อมูลเกี่ยวกับทฤษฎีที่ต้องใช้ในการออกแบบและการคำนวณการเคลื่อนที่โดยการสร้างแนววิถีการเดิน
- 1.4.2 ออกแบบโครงสร้างของหุ่นยนต์เคลื่อนที่เดิน 2 ขาโดยให้สอดคล้องกับทฤษฎีที่ได้ศึกษาค้นคว้ามา
- 1.4.3 ศึกษาและค้นคว้าข้อมูลเกี่ยวกับโปรแกรมที่จะนำมาออกแบบควบคุมการเดิน
- 1.4.4 เขียนโปรแกรมเพื่อควบคุมการเดินตามโครงสร้างที่ได้ออกแบบมา
- 1.4.5 ทดสอบการเดินของหุ่นยนต์เคลื่อนที่เดิน 2 ขาโดยการสร้างแนววิถีการเดินและเริ่มจัดทำรูปเล่นโครงการ
- 1.4.6 พัฒนาโครงสร้างของหุ่นยนต์เคลื่อนที่เดิน 2 ขา, พัฒนาโปรแกรมที่ออกแบบ และตรวจสอบข้อผิดพลาดโดยละเอียด
- 1.4.7 ทดสอบการเดินของหุ่นยนต์เคลื่อนที่เดิน 2 ขาที่เหมาะสมที่สุด
- 1.4.8 สรุปผลการทำงานและจัดทำรูปเล่นโครงการ

1.5 แผนการดำเนิน

ตาราง 1.1 แผนการดำเนินงาน

กิจกรรม	ปี 2547						ปี 2548					
	พ.ย.	ธ.ค.	ม.ค.	ก.พ.	มี.ค.	เม.ย.	พ.ค.	มิ.ย.	ก.ค.	ส.ค.	ก.ย.	
1. ศึกษาและถอดความเข้าใจว่าข้อมูลเกี่ยวกับทฤษฎีที่ต้องใช้ในการออกแบบและการคำนวณการเคลื่อนที่โดยการสร้างแนววิธีการเดิน	↔											
2. ออกแบบโครงสร้างหุ่นยนต์เคลื่อนที่เดิน 2 ขา โดยให้สอดคล้องกับทฤษฎีที่ถอดความ			↔	↔								
3. ศึกษาและถอดความเข้าใจว่าข้อมูลเกี่ยวกับโปรแกรมที่จะนำมาออกแบบควบคุมการเดิน					↔							
4. เขียนโปรแกรมเพื่อควบคุมการเดินตามโครงสร้างที่ได้ออกแบบมา						↔	↔					
5. ทดสอบการเดินของหุ่นยนต์เคลื่อนที่เดิน 2 ขา โดยการสร้างแนววิธีการเดินและเริ่มจัดทำรูปเล่มของโครงงาน								↔				
6. พัฒนาโครงสร้างของหุ่นยนต์เคลื่อนที่เดิน 2 ขา โปรแกรมที่ออกแบบ และตรวจสอบข้อผิดพลาดโดยละเอียด									↔			
7. ทดสอบการเดินของหุ่นยนต์เคลื่อนที่เดิน 2 ขาที่เหมาะสมที่สุด									↔			
8. สรุปผลการทำงานและจัดทำรูปเล่มของโครงงาน										↔		

1.6 ผลที่คาดว่าจะได้รับ

- 1.6.1 สามารถเข้าใจหลักการเดินของหุ่นยนต์โดยใช้หลักการทำงานสิรีรัฐวิทยาพื้นฐานที่เกี่ยวกับการเคลื่อนที่ของมนุษย์
- 1.6.2 สามารถเขียนโปรแกรมภาษาแอสเซมบลีและภาษาวิชาลเนสิก ในการควบคุมหุ่นยนต์ได้
- 1.6.3 สามารถสร้างโครงสร้างของหุ่นยนต์เดินสองขาได้โดยใช้หลักการของข้อต่อและลิงค์

1.7 งบประมาณของโครงงาน

1.7.1 ค่าถ่ายเอกสารและเข้าถ่ายรายงาน	1000 บาท
1.7.2 ค่านอเตอร์ชนิดเซอร์โว (servo motor)	2000 บาท
1.7.3 ค่าใช้จ่ายในการผลิตโครงสร้างของหุ่นยนต์ รวมเป็นเงิน	1000 บาท
	4000 บาท(สี่พันบาทถ้วน)



บทที่ 2

ทฤษฎีของหุ่นยนต์เดิน 2 ขา

2.1 ประวัติการพัฒนาหุ่นยนต์ 2 ขา

พัฒนาการของเครื่องจักรกลบั้งคงคำเนินต่อไปอย่างไม่หยุดยั้งซึ่งแนวความคิดเรื่องหุ่นยนต์ที่สามารถเคลื่อนที่ได้โดยใช้สองขาหรือก้าวเดินได้อ่ายมุนย์ได้ถูกพัฒนาขึ้น หุ่นยนต์ลักษณะนี้เรียกว่าชีวามโนยด์ (Humanoid)

นักพัฒนาหุ่นยนต์แต่ละคนก็มีจุดมุ่งหมายสุดท้ายที่ไม่แตกต่างกัน นั่นคือการสร้างสิ่งที่มีความคล้ายคลึงมนุษย์ทั่วไปให้มากที่สุดและสามารถรับภาระในการทำงานต่างๆ แทนมนุษย์ได้ แต่วิธีที่จะถึงจุดหมายดังกล่าวแตกต่างกันออกไป ตัวอย่างที่เห็นได้ชัดเจนที่สุดก็คือหุ่นยนต์ของชาวเยอรมันกับผลงานของญี่ปุ่น

หุ่นยนต์ของญี่ปุ่นจะมุ่งเน้นไปที่การพัฒนาให้มีลักษณะเหมือนกับมนุษย์มากที่สุด ทั้งเรื่องของรูปร่างและการเคลื่อนไหวโดยมีสิ่งที่สำคัญเป็นอันดับแรกก็คือ การเป็นหุ่นยนต์ที่ต้องเดินได้ด้วยขาสองขาเหมือนคน ซึ่งทอรุ เทเคนากะ (Toru Tekenaka) หัวหน้าวิศวกรรมของศูนย์วิจัยฮอนดา วาโกะ (Honda Wako) ในประเทศญี่ปุ่นได้เปิดเผยว่า “จุดมุ่งหมายของการพัฒนาคือการประดิษฐ์หุ่นยนต์ที่มีความสามารถและอยู่ร่วมกับคนได้อย่างกลมกลืนที่สุด”

ฮอนด้า (Honda) ได้เริ่มต้นพัฒนาหุ่นยนต์ด้วยเครื่องจักรจ่ายๆ ที่สามารถเดินได้คือหุ่นยนต์ที่มีชื่อว่า EO ซึ่งเรียกกันในขณะนั้นว่าเครื่องจักรที่เดินได้ (Walk-Machine) โดยหุ่นจะเดินด้วยการใช้ขาสองข้างเหมือนมนุษย์ซึ่งจะมีระบบการรักษาสมดุลของตัวเองที่มีรูปแบบการควบคุมจ่ายมาก ต่อมาฮอนด้า (Honda) ได้นำเทคโนโลยีที่เรียกว่าไอวอคส์ (I-Walk) เข้ามาใช้กับหุ่นยนต์ที่มีชื่อว่าอะซิโน ซึ่งทำให้นอกจากการเคลื่อนที่ไปข้างหน้าและข้างหลังแล้วมันยังเคลื่อนที่ไปด้านข้าง ด้านลง บนได้ เดินในที่ลาดชันและเดินเลี้ยวผ่านมุนต่างๆ ได้อีกด้วย นอกจากนั้นยังวางแผนสำหรับการเคลื่อนที่ก้าวต่อไปได้เหมือนมนุษย์ทุกอย่างรวมถึงการเปลี่ยนทิศทางในการเคลื่อนที่อะซิโน ก็ทำได้โดยไม่ต้องหยุดก่อนด้วยอะซิโน สามารถพูดทักทายโดยตอบกับมนุษย์ได้โดยไม่มีคนอย่างไร ได้อ่ายน้ำทั้ง เพราะมีระบบการคำนวณระยะห่างและทิศทางการเคลื่อนที่ของวัตถุต่างๆ จากข้อมูลทั้งหมดที่ได้รับ มาประมวลผลแล้วนำผลที่ได้ไปประกอบการตัดสินใจจากนั้นอะซิโน ยังสามารถพูดภาษาอังกฤษและภาษาญี่ปุ่นประโภคสัน្ដิหาได้อีกด้วย ศาสตราจารย์ราดิเยอร์ ดิลเมน (Ruediger Dillman) จากมหาวิทยาลัยคาร์ลruh ประเทศเยอรมนีได้ให้ความเห็นว่า สาเหตุที่การพัฒนาสาขาแมคคาโนนิกส์และวิศวกรรมระบบควบคุม (Mechatronics and Control Engineering)

ทำให้หุ่นยนต์ในปัจจุบันก้าวหน้าไปไกลกว่าที่อื่นๆ ในโลกสามารถทำงานหรือเคลื่อนไหวได้เหมือนมนุษย์

ผลงานชิ้นสำคัญของงานค้นคว้าพิเศษนี้ได้แก่การพัฒนาหุ่นต้นแบบที่มีชื่อว่า อาร์มาร์ (ARMAR) ซึ่งเป็นหุ่นยนต์แบบครึ่งตัวที่ประกอบด้วยแขนสองข้างที่มีมือพร้อมด้วยนิ้วมือห้านิ้ว โดยส่วนหัวของหุ่นมีการติดตั้งเซนเซอร์สำหรับจับภาพและเสียงไว้ด้วย การพัฒนาจะมุ่งเน้นไปที่ส่วนหัวและแขนเป็นลำดับแรกทำให้การเคลื่อนที่ของหุ่นยนต์ต้นแบบนี้ยังคงอาศัยล้อ

อย่างไรก็ได้ในประเทคโนโลยีได้พัฒนามาเป็นหุ่นยนต์สองขาแล้ว โดยตัวที่นำสันใจมากที่สุดมีชื่อว่า จอนนี่ (Jhonnie) สร้างขึ้นโดยศาสตราจารย์อลอญ โภเพอร์ (Friedrich Pfeiffer) จากมหาวิทยาลัยเทคโนโลยีมิวนิก และได้มีการนำมาทดสอบในห้องปฏิบัติการของศาสตราจารย์อลอญ โภโนล (Alois Knoll) ซึ่งเป็นผู้เชี่ยวชาญทางด้านวิทยาศาสตร์คอมพิวเตอร์โดยที่ยังเชื่อมต่อหุ่นยนต์เข้ากับสายเคเบิลต่างๆ อยู่

ผลการทดสอบของหุ่นนี้ ภายในห้องปฏิบัติการแสดงให้เห็นว่าหุ่นยนต์สามารถจดจำรูปแบบตัวอย่าง และสามารถนำรูปแบบตัวอย่างดังกล่าวไปใช้ในการแก้ไขปัญหาส่วนใหญ่ที่เกิดขึ้นได้ แต่ในภาพรวมแล้วหุ่นนี้ ยังคงต้องได้รับการพัฒนาต่อไปอีกหลายขั้นเพื่อให้บรรลุเป้าหมายที่ตั้งไว้ ซึ่งศาสตราจารย์อลอญ โภโนล (Alois Knoll) ได้คาดหวังว่าการพัฒนาหุ่นยนต์ต่างๆ นั้นจะต้องสามารถนำไปใช้งานได้จริง

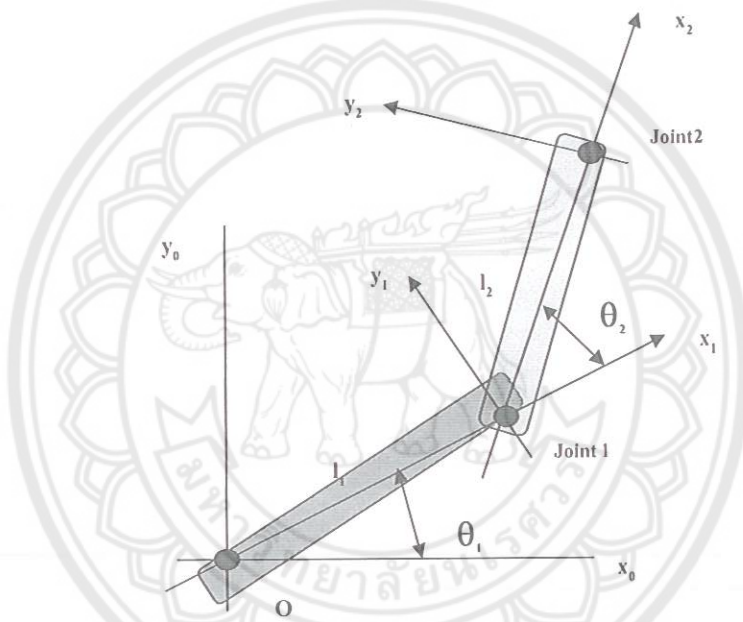
หุ่นยนต์ที่มีรูปร่างและท่าทางเหมือนมนุษย์เพียงอย่างเดียวนั้นยังไม่พอ หุ่นยนต์ที่เขียนชื่อว่าเป็น 'ชีวามนอยด์' ที่สมบูรณ์จะต้องอยู่ร่วมในสังคมที่มีคนอยู่ด้วยโดยไม่มีข้อจำกัดแม้ในส่วนใดก็มี การพัฒนาหุ่นยนต์ให้มีความสามารถด้านนี้ด้วยโซนี่ (Sony) หนึ่งในผู้ผลิตหุ่นยนต์ที่เรารู้จักกันดี สามารถพัฒนาหุ่นยนต์ให้มีความสามารถทางด้านกีฬาอย่างมากได้เป็นผลลัพธ์นี้ชื่อว่า คิวโร ซึ่ง เป็นหุ่นยนต์ตัวแรกที่ไม่เพียงแต่แค่เดินได้เหมือนมนุษย์เท่านั้นแต่ยังสามารถวิ่งได้ด้วย ถ้ามันล้ม ก็สามารถลุกขึ้นเองได้ แม้แต่โซนี่ หรือ โซนี่นี่ ก็ยังไม่สามารถทำได้ แต่อย่างไรก็ตามทั้งหมดนั้น หากมีผู้สนับสนุนมากกว่านี้ อนาคตอันใกล้หุ่นตัวอื่นๆ ก็อาจจะวิ่งได้ หรือเล่นกีฬาได้ เช่นเดียวกับ คิวโร แต่สิ่งหนึ่งที่ทีมงานของโซนี่ปัจจุบันคิดไม่ถึงก็คือ หุ่นยนต์หุ่นนี่ นั้นกำลังเรียนรู้ที่จะนั่งชี้ง เป็นบทเรียนที่มีความสำคัญมากสำหรับการเริ่มเป็นนักฟุตบอลจากม้านั่งข้างสนาม หากหุ่นยนต์ชีวามนอยด์ ต้องการเป็นนักฟุตบอลตัวจริง

2.2 คิเนมเมติกส์ (Kinematics)

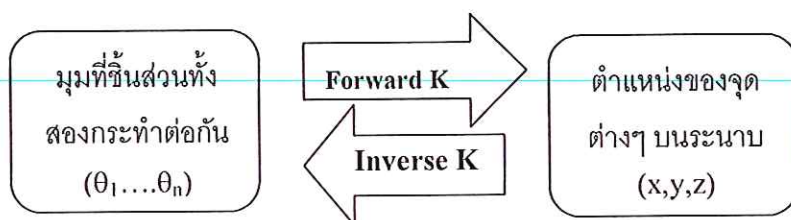
คิเนเมติกส์ (Kinematics) เป็นการศึกษาถึงลักษณะการเคลื่อนที่ของวัตถุ ซึ่งอธิบายถึงความสัมพันธ์ระหว่างการเคลื่อนที่ของข้อมูลและการเคลื่อนที่ของหุ่นยนต์ โดยไม่มีการพิจารณาแรงกระทำบนวัตถุ

ฟอร์เวิร์ด คิเนเมติกส์ (Forward Kinematics - angles to position) จะทราบค่าความยาวของชิ้นส่วนที่เชื่อมต่อกัน และมุมที่ชิ้นส่วนทั้งสองกระทำต่อ กัน แล้วนำค่าที่มีอยู่ไปคำนวณหาตำแหน่งของจุดต่างๆ บนระนาบ เช่นในพิกัดโลก (x, y, z)

อินเวิร์ส คิเนเมติกส์ (Inverse Kinematics - position to angles) จะเป็นการคำนวณย้อนกลับของฟอร์เวิร์ดคิเนเมติกส์ นั่นคือ จะทราบขนาดความยาวของชิ้นส่วนที่เชื่อมต่อ กัน และตำแหน่งของจุดต่างๆ แล้วนำตำแหน่งนี้ไปคำนวณหาค่าของมุมที่ชิ้นส่วนนั้นๆ กระทำต่อ กัน

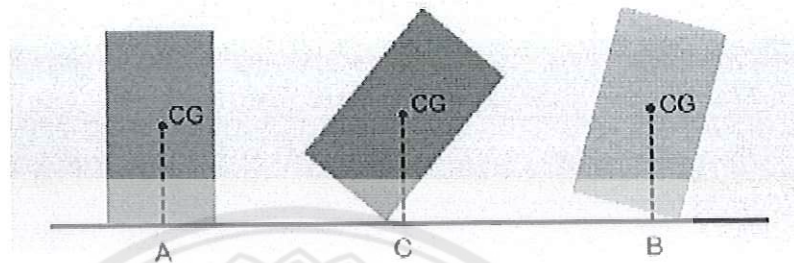


รูปที่ 2.1 ตำแหน่งพิกัดและจุดต่างๆ บนชิ้นส่วนที่เชื่อมต่อ กัน



2.3 จุดศูนย์ถ่วง (Center of Gravity : CG)

จุดศูนย์ถ่วง คือจุดที่เหมือนตำแหน่งที่รวมของน้ำหนักของวัตถุทั้งก้อน ดังแสดงดังรูปที่ 2.1 วัตถุในรูป A วางอยู่ในลักษณะสมดุลย์ เพราะแนวของ CG ที่ตั้งคือลงสู่พื้นโลก อยู่ในกรอบฐาน ถ้าโยกวัตถุรูป A ให้อยู่ในตำแหน่ง B มีแนวของจุดศูนย์ถ่วง CG ยังอยู่ในฐาน วัตถุจะกลับมาตำแหน่งเดิมตามรูป A ถ้าโยกวัตถุรูป A ให้อยู่ในตำแหน่ง C มีแนวจุดศูนย์ถ่วง CG เลยออกจากรูปฐานวัตถุจะล้ม

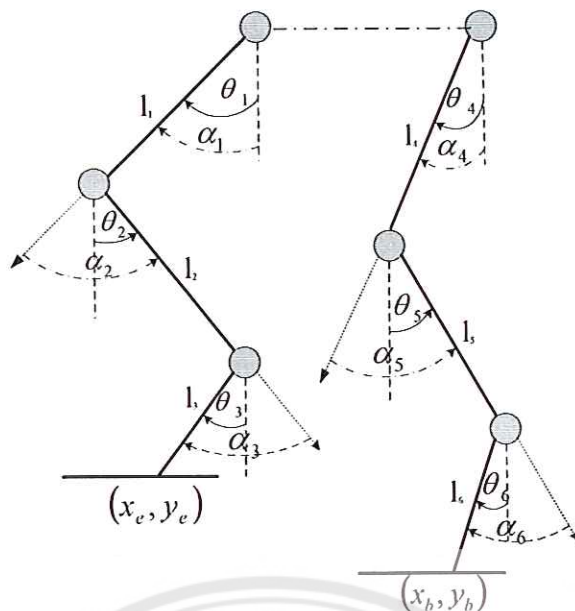


รูปที่ 2.2 ตำแหน่งของจุด CG ของวัตถุในแต่ละสถานะ

สรุปได้ว่าวัตถุรูปร่างใดก็ตาม ถ้า平衡แล้ววัตถุหย่อนิ่งสมดุลย์ของวัตถุนั้นจะเกิดขึ้นได้ต้องให้แนว CG อยู่ในแนวเดียวกับเชือก

2.4 การคำนวณหาระยะห่างระหว่างขา

ในโครงการนักบินนี้ได้ใช้ทฤษฎีของ ฟอร์เวิร์ค คิเนเมติกส์ มาใช้ในการคำนวณหาระยะห่างระหว่างขาโดยทราบค่าความยาวของขี้นส่วนที่เชื่อมต่อกัน และมุมที่ขี้นส่วนทั้งสองกระทำต่อกันแล้วนำค่าไปคำนวณหาตำแหน่งของจุด (x,y) บนระนาบพิกัด



รูปที่ 2.3 นิยมของขาท่อต่างๆ

จากรูปที่ 2.3 โดยใช้พิชิตเปลี่ยงด้านจะได้สมการต่อไปนี้

$$x_e = x_b + (l_1 \sin \theta_1 + l_2 \sin \theta_2 + l_3 \sin \theta_3) - (l_4 \sin \theta_4 + l_5 \sin \theta_5 + l_6 \sin \theta_6) \quad (2.1)$$

$$y_e = y_b + (l_1 \cos \theta_1 + l_2 \cos \theta_2 + l_3 \cos \theta_3) - (l_4 \cos \theta_4 + l_5 \cos \theta_5 + l_6 \cos \theta_6) \quad (2.2)$$

กำหนดตัวแปรดังนี้

$$\theta_1 \text{ คือ } \alpha_1$$

$$\theta_4 \text{ คือ } \alpha_4$$

$$\theta_2 \text{ คือ } \alpha_1 + \alpha_2$$

$$\theta_5 \text{ คือ } \alpha_4 + \alpha_5$$

$$\theta_3 \text{ คือ } \alpha_1 + \alpha_2 + \alpha_3$$

$$\theta_6 \text{ คือ } \alpha_4 + \alpha_5 + \alpha_6$$

แทนค่าตัวแปรในสมการ (2.3) และ (2.4)

$$x_e = x_b + [l_1 \sin \alpha_1 + l_2 \sin(\alpha_1 + \alpha_2) + l_3 \sin(\alpha_1 + \alpha_2 + \alpha_3)] - [l_4 \sin(\alpha_4) + l_5 \sin(\alpha_4 + \alpha_5) + l_6 \sin(\alpha_4 + \alpha_5 + \alpha_6)] \quad (2.3)$$

$$y_e = y_b + [l_1 \cos(\alpha_1) + l_2 \cos(\alpha_1 + \alpha_2) + l_3 \cos(\alpha_1 + \alpha_2 + \alpha_3)] - [l_4 \cos(\alpha_4) + l_5 \cos(\alpha_4 + \alpha_5) + l_6 \cos(\alpha_4 + \alpha_5 + \alpha_6)] \quad (2.4)$$

จากสมการสามารถแปลงเป็นสมการเมตริกซ์

$$\begin{bmatrix} x_e \\ y_e \end{bmatrix} = \begin{bmatrix} x_b \\ y_b \end{bmatrix} + [A] \begin{bmatrix} l_1 \\ l_2 \\ l_3 \\ l_4 \\ l_5 \\ l_6 \end{bmatrix} \quad (2.5)$$

โดยที่

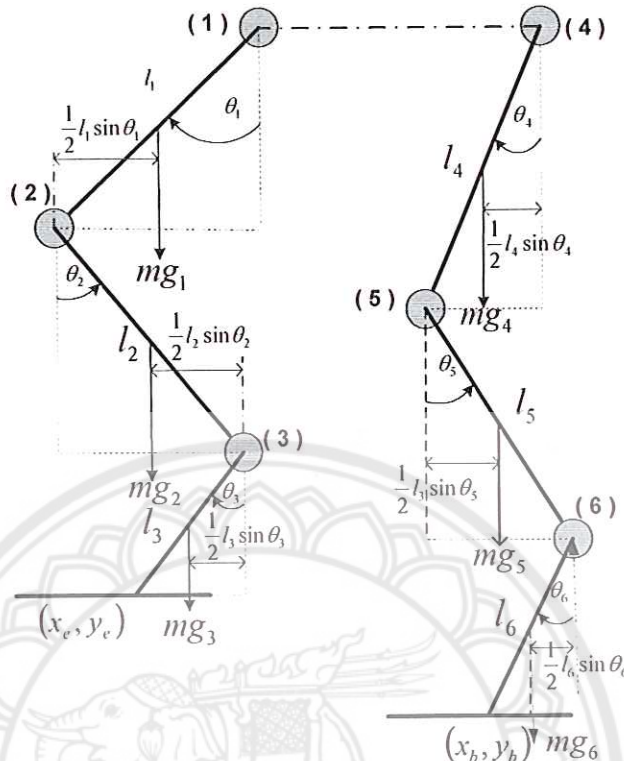
$[A] =$

$$\begin{bmatrix} \sin \alpha_1 & \sin(\alpha_1 + \alpha_2) & \sin(\alpha_1 + \alpha_2 + \alpha_3) & (-\sin \alpha_4) & (-\sin(\alpha_4 + \alpha_5)) & (-\sin(\alpha_4 + \alpha_5 + \alpha_6)) \\ \cos \alpha_1 & \cos(\alpha_1 + \alpha_2) & \cos(\alpha_1 + \alpha_2 + \alpha_3) & (-\cos \alpha_4) & (-\cos(\alpha_4 + \alpha_5)) & (-\cos(\alpha_4 + \alpha_5 + \alpha_6)) \end{bmatrix}$$

หมายเหตุ

1. ถ้าค่า x_e ที่ได้มีค่าเป็นบวก แสดงว่าขาที่ใช้เทียบอยู่ข้างหน้าขาอ้างอิงจะระย灵气ทางเท้ากับ $|x_e|$ ในแนวแกน x
2. ถ้าค่า x_e ที่ได้มีค่าเป็นลบ แสดงว่าขาที่ใช้เทียบอยู่ข้างหลังขาอ้างอิงไปในด้านบวกจะระย灵气ทางเท้ากับ $|x_e|$ ในแนวแกน x
3. ถ้าค่า y_e ที่ได้มีค่าเป็นลบ แสดงว่าขาที่ใช้เทียบอยู่สูงกว่าขาอ้างอิงจะระย灵气ทางเท้ากับ $|y_e|$ ในแนวแกน y
4. ถ้าค่า y_e ที่ได้มีค่าเป็นบวก แสดงว่าขาอ้างอิงอยู่สูงกว่าขาที่ใช้เทียบจะระย灵气ทางเท้ากับ $|y_e|$ ในแนวแกน y

2.5 การคำนวณหาจุดศูนย์ถ่วงมวลของหุ่นยนต์



รูปที่ 2.4 จุดศูนย์ถ่วงของขาท่อต่างๆ

จากรูปที่ 2.4 กำหนดให้จุด (x_b, y_b) เป็นจุดหมุนอู่ที่จุด $(0,0)$ โดยใช้จุดนี้เป็นจุดอ้างอิง

พิจารณาแขน l_6

จากรูปที่ 2.4 ระยะในแนวแกนบนของขาท่อน l_6 เท่ากับ $l_6 \sin \theta_6$

หาตำแหน่งจุดหมุน (6) โดยอ้างอิงที่ตำแหน่งจุดหมุน (x_b, y_b) ตำแหน่งจุดหมุนที่ (6) อยู่ ณ ตำแหน่ง $(0 + l_6 \sin \theta_6, 0)$

ในแนวระนาบแกน x ตำแหน่งจุดศูนย์ถ่วงมวลขาท่อนที่ 6 อยู่ ณ ตำแหน่ง $\left(0 + \frac{l_6 \sin \theta_6}{2}, 0\right)$

พิจารณาแขน l_5

จากรูปที่ 2.4 ระยะในแนวแกนบนของขาท่อน l_5 เท่ากับ $l_5 \sin \theta_5$

หาตำแหน่งจุดหมุน (5) โดยอ้างอิงที่ตำแหน่งจุดหมุน (6) ตำแหน่งจุดหมุนที่ (5) อยู่ ณ ตำแหน่ง $(l_5 \sin \theta_5 + l_6 \sin \theta_6, 0)$

ในแนวระนาบแกน x ตำแหน่งจุดศูนย์ถ่วงมวลขาท่อนที่ 5 อยู่ ณ ตำแหน่ง

$\left(\frac{l_5 \sin \theta_5}{2} + l_6 \sin \theta_6, 0\right)$

พิจารณาแนน I_4

จากรูปที่ 2.4 ระยะในแนวแกนนอนของขาท่อน I_4 เท่ากับ $I_4 \sin \theta_4$

หาตำแหน่งจุดหมุน (4) โดยอ้างอิงที่ตำแหน่งจุดหมุน (5) ตำแหน่งจุดหมุน (4) อยู่ ณ ตำแหน่ง

$$(I_4 \sin \theta_4) + (I_5 \sin \theta_5) + (I_6 \sin \theta_6), 0)$$

ในแนวระนาบแกน x ตำแหน่งจุดศูนย์ถ่วงมวลขาท่อนที่ 4 อยู่ ณ ตำแหน่ง

$$\left(\frac{(I_4 \sin \theta_4)}{2} + (I_5 \sin \theta_5) + (I_6 \sin \theta_6), 0 \right)$$

พิจารณาแนน I_3

จากรูปที่ 2.4 ระยะในแนวแกนนอนของขาท่อน I_3 เท่ากับ $I_3 \sin \theta_3$

หาตำแหน่งจุดหมุน (3) โดยอ้างอิงที่ตำแหน่งจุดหมุน (x_e, y_e) ตำแหน่งจุดหมุน (3) อยู่ ณ ตำแหน่ง

$$((-x_e) + I_3 \sin \theta_3, 0)$$

ในแนวระนาบแกน x ตำแหน่งจุดศูนย์ถ่วงมวลขาท่อนที่ 3 อยู่ ณ ตำแหน่ง

$$\left((-x_e) + \frac{I_3 \sin \theta_3}{2}, 0 \right)$$

พิจารณาแนน I_2

จากรูปที่ 2.4 ระยะในแนวแกนนอนของขาท่อน I_2 เท่ากับ $I_2 \sin \theta_2$

หาตำแหน่งจุดหมุน (2) โดยอ้างอิงที่ตำแหน่งจุดหมุน (3) ตำแหน่งจุดหมุน (2) อยู่ ณ ตำแหน่ง

$$(I_2 \sin \theta_2) + ((-x_e) + I_3 \sin \theta_3), 0)$$

ในแนวระนาบแกน x ตำแหน่งจุดศูนย์ถ่วงมวลขาท่อนที่ 2 อยู่ ณ ตำแหน่ง

$$\left(\frac{(I_2 \sin \theta_2)}{2} + ((-x_e) + I_3 \sin \theta_3), 0 \right)$$

พิจารณาแนน I_1

จากรูปที่ 2.4 ระยะในแนวแกนนอนของขาท่อน I_1 เท่ากับ $I_1 \sin \theta_1$

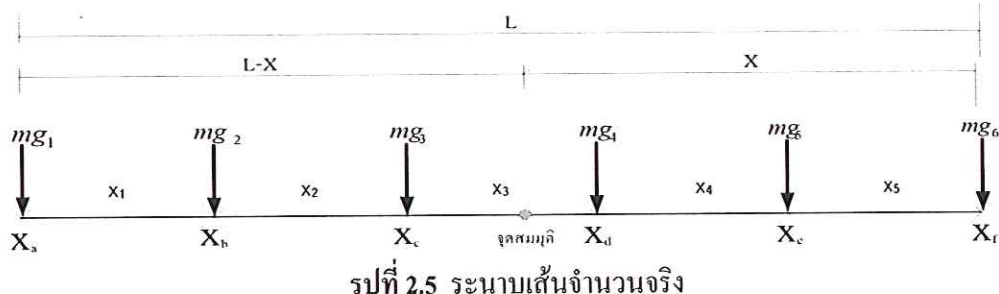
หาตำแหน่งจุดหมุน (1) โดยอ้างอิงที่ตำแหน่งจุดหมุน (2) ตำแหน่งจุดหมุนที่ (1) อยู่ ณ ตำแหน่ง

$$(I_1 \sin \theta_1) + (I_2 \sin \theta_2) + ((-x_e) + I_3 \sin \theta_3), 0)$$

ในแนวระนาบแกน x ตำแหน่งจุดศูนย์ถ่วงมวลขาท่อนที่ 1 อยู่ ณ ตำแหน่ง

$$\left(\frac{(I_1 \sin \theta_1)}{2} + ((I_2 \sin \theta_2) + ((-x_e) + I_3 \sin \theta_3)), 0 \right)$$

นำค่า จุดศูนย์ถ่วงมวลของขาแต่ละท่อน ไปเขียนบนระนาบเส้นจำนวนจริงในแนวแกน x



จากรูปที่ 2.5 ทำการหาระยะห่างระหว่างจุด โดยกำหนดให้

$$x_1 = \text{ระยะห่างระหว่าง } X_a \text{ กับ } X_b$$

$$x_2 = \text{ระยะห่างระหว่าง } X_b \text{ กับ } X_c$$

$$x_3 = \text{ระยะห่างระหว่าง } X_c \text{ กับ } X_d$$

$$x_4 = \text{ระยะห่างระหว่าง } X_d \text{ กับ } X_c$$

$$x_5 = \text{ระยะห่างระหว่าง } X_c \text{ กับ } X_f$$

ทำการสมนติจุดหมุนขึ้นมาหนึ่งจุดเพื่อเป็นจุดหมุน

จากทฤษฎีบทโนเมนต์

$$\text{โนเมนต์ตามเข็ม} = \text{โนเมนต์ทวนเข็ม} \quad (2.6)$$

กำหนดให้

m คือ มวลของขาแต่ละท่อน

$g_1, g_2, g_3, g_4, g_5, g_6$ คือ แรงโน้มถ่วงของโลก

ทำให้ได้สมการ

$$\begin{aligned} mg_1(L - X) + mg_2((L - X) - x_1) + mg_3((L - X) - x_1 - x_2) \\ = mg_6(X) + mg_5(X - x_5) + mg_4(X - x_5 - x_4) \end{aligned} \quad (2.7)$$

นำค่า mg หารทั้งสองข้างของสมการที่ (2.7) เนื่องจากมวลของขาแต่ละท่อนมีค่าเท่ากันหมวด mg จึงหักล้างกันทุกค่า จึงทำให้ได้สมการ

$$\begin{aligned} (L - X) + ((L - X) - x_1) + ((L - X) - x_1 - x_2) \\ = X + (X - x_5) + (X - x_5 - x_4) \end{aligned} \quad (2.8)$$

$$3(L - X) - 2(x_1) - x_2 = 3X - 2(x_5) - (x_4) \quad (2.9)$$

$$3L - 3X - 3X = -2(x_5) - (x_4) + 2(x_1) + (x_2) \quad (2.10)$$

จากสมการที่ (2.10) กำหนดให้

L คือ ระบะห่างของตำแหน่งจุดที่มีค่ามากที่สุดกับตำแหน่งจุดที่มีค่าน้อยที่สุดบนระนาบเส้น

จำนวนจริง $(x_1 + x_2 + x_3 + x_4 + x_5)$

X คือ ระบะห่างระหว่างจุดศูนย์ถ่วงมวลรวมของหุ่นยนต์ถึงตำแหน่งจุดที่มีค่ามากที่สุดบน
ระนาบเส้นจำนวนจริง

นำค่า L แทนในสมการที่ (2.10) จะทำให้ได้สมการ

$$-6X = 2x_1 + x_2 - x_4 - 2x_5 - 3(x_1 + x_2 + x_3 + x_4 + x_5) \quad (2.11)$$

$$-6X = -x_1 - 2x_2 - 3x_3 - 4x_4 - 5x_5 \quad (2.12)$$

นำ (-1) คูณทั้งสองข้างของสมการที่ (2.12) ทำให้ได้สมการ

$$6X = x_1 + 2x_2 + 3x_3 + 4x_4 + 5x_5 \quad (2.13)$$

จากสมการที่ (2.13) นำ 6 หารทั้งสองข้างของสมการจะได้ว่า

$$X = \frac{1}{6}x_1 + \frac{1}{3}x_2 + \frac{1}{2}x_3 + \frac{2}{3}x_4 + \frac{5}{6}x_5 \quad (2.14)$$

ดังนั้น

$$\text{ตำแหน่งจุดศูนย์ถ่วงมวลของหุ่นยนต์ } (x_{cg}) = \text{ตำแหน่งของจุด } x_r - X \quad (2.15)$$

2.6 การวิเคราะห์ตำแหน่งจุดศูนย์ถ่วงมวลของหุ่นยนต์

2.6.1 กรณีค่า x_e มีค่าเป็นลบ

$x_e < x_{cg} < x_b$ คือ ตำแหน่งที่จุดศูนย์ถ่วงมวลของหุ่นยนต์อยู่ภายนอกฐานทำให้หุ่นยนต์

สามารถคงตัวอยู่ได้

$x_b < x_{cg}$ คือ ตำแหน่งที่จุดศูนย์ถ่วงมวลของหุ่นยนต์อยู่ภายนอกฐานทำให้หุ่นยนต์ไม่
สามารถคงตัวอยู่ได้

$x_{cg} < x_e$ คือ ตำแหน่งที่จุดศูนย์ถ่วงมวลของหุ่นยนต์อยู่ภายนอกฐานทำให้หุ่นยนต์ไม่

สามารถคงตัวอยู่ได้

2.6.2 กรณีค่า x_e มีค่าเป็นลบ

$x_b < x_{cg} < x_e$ คือ ตำแหน่งที่จุดศูนย์ถ่วงมวลของหุ่นยนต์อยู่ภายนอกฐานทำให้หุ่นยนต์สามารถคงตัวอยู่ได้

$x_e < x_{cg}$ คือ ตำแหน่งที่จุดศูนย์ถ่วงมวลของหุ่นยนต์อยู่ภายนอกฐานทำให้หุ่นยนต์ไม่สามารถคงตัวอยู่ได้

$x_{cg} < x_b$ คือ ตำแหน่งที่จุดศูนย์ถ่วงมวลของหุ่นยนต์อยู่ภายนอกฐานทำให้หุ่นยนต์ไม่สามารถคงตัวอยู่ได้

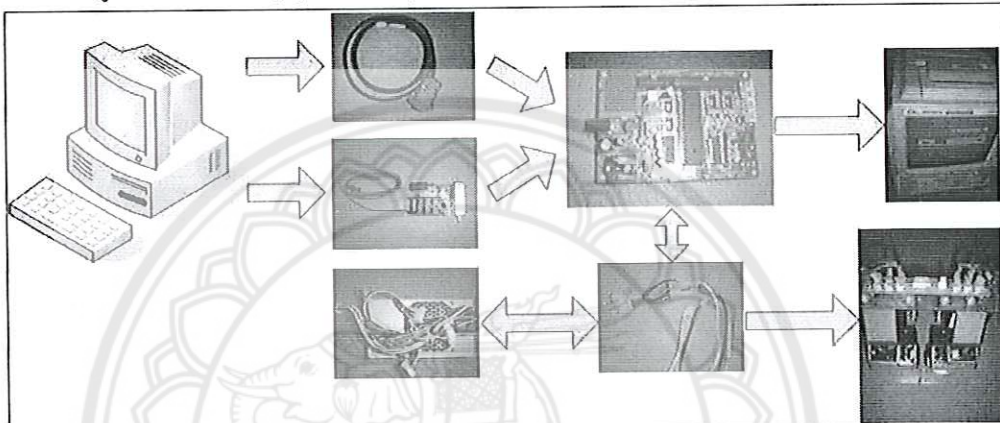
จากที่ได้ทำการศึกษาทฤษฎีบทที่ได้ทำการกล่าวมาข้างต้นทำให้สามารถคำนวณค่าตำแหน่งจุดศูนย์ถ่วงมวลเพื่อทำการวิเคราะห์การทรงตัวของหุ่นยนต์ได้ ในบท่อไปจะกล่าวถึงขั้นตอนในการดำเนินงานโดยใช้ทฤษฎีบทที่กล่าวมาในข้างต้นมาประยุกต์ใช้ในการดำเนินงาน



บทที่ 3

วิธีการดำเนินงาน

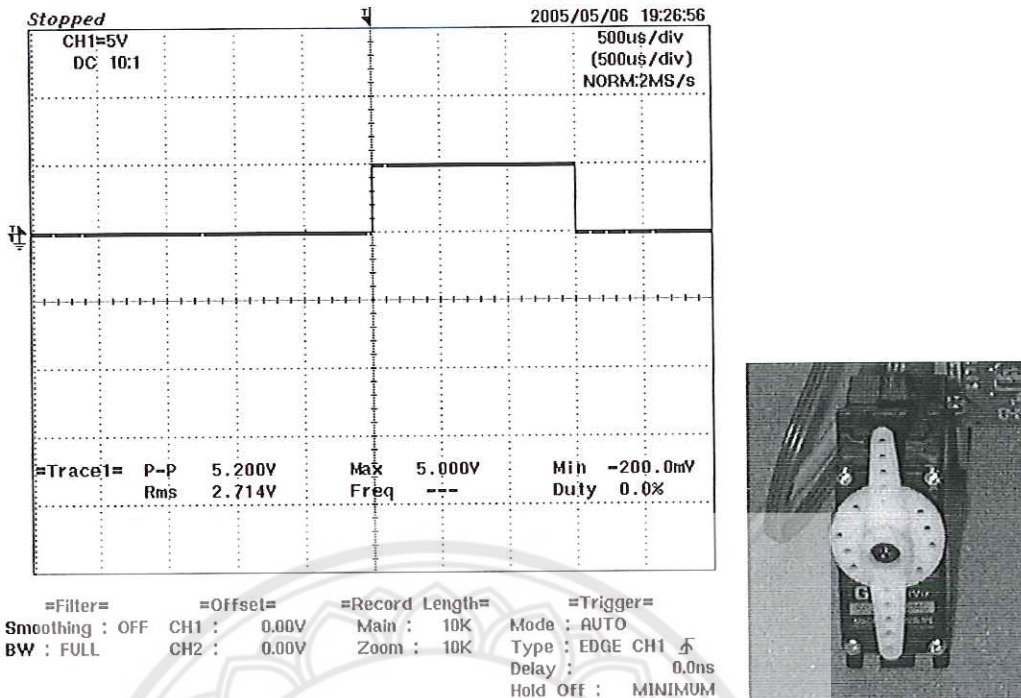
ในรูปที่ 3.1 คือขั้นตอนการดำเนินงาน เริ่มต้นโดยใช้คอมพิวเตอร์ดาวน์โหลดโปรแกรมลงบอร์ดควบคุมจากนั้นใช้โปรแกรมวิชาลเบสิก ในคอมพิวเตอร์สั่งทำทางต่างๆ ผ่านสาย RS-232 ขั้นตอนต่อไปนอร์จะทำการประมวลผลแล้วส่งสัญญาณออกทางพอร์ท C0-C5 ซึ่งในการทดลองครั้งแรกจะทำการวัดสัญญาณ โดยอสเซิลโลสโคปว่าสัญญาณที่ได้มีความถูกต้องหรือไม่ถ้าขั้นตอนนี้มีความถูกต้องก็จะส่งสัญญาณไปยังหุ่นยนต์ที่ใช้พลังงานไฟฟ้าจากเพาเวอร์ชัพพลาຍ



รูปที่ 3.1 ขั้นตอนการดำเนินงาน

3.1 การควบคุมเชอร์โวนอเตอร์

ภายในตัวเชอร์โวนอเตอร์ประกอบด้วยแผงควบคุมซึ่งทำหน้าที่รับสัญญาณจากไมโครคอนโทรลเลอร์ มากับคุณการหมุนหรือเคลื่อนที่ไปยังตำแหน่งที่ต้องการ ชุดเกียร์ (Gear) ที่ติดตั้งไว้ภายในประกอบด้วยเฟืองหลัก ซึ่งทำหน้าที่เพิ่มกำลังหรือแรงบิดให้กับตัวเชอร์โวนอเตอร์ การรับสัญญาณพลั๊ซ จากไมโครคอนโทรลเลอร์ ใช้ไฟได้ตั้งแต่ 4.8 - 6 V DC กินกระแส 9.7 mA. (Idle) 130 mA. เชอร์โวนอเตอร์จะรับสัญญาณพลั๊ซ เพื่อใช้ในการกำหนดการหมุนของเชอร์โวนอเตอร์ ถ้าสัญญาณพลั๊ซที่ได้มีความกว้าง 1.5 ms จะทำให้เชอร์โวนอเตอร์หมุนกลับมาอยู่ที่ตำแหน่งกลาง (Center) เมื่อสัญญาณพลั๊ซมีความกว้างเพิ่มมากขึ้น เช่น 1.8, 1.9, 2.0, 2.1 ms เชอร์โวนอเตอร์ก็จะหมุนตามเข็ม เมื่อเพิ่มความกว้างของช่วงพลั๊ซ ไปจนถึง 2.5 ms ซึ่งเป็นตำแหน่งที่เชอร์โวนอเตอร์จะหมุนไปที่ตำแหน่งซ้ายสุด (Full Left) ในทำนองกลับกันถ้าต้องการให้เชอร์โวนอเตอร์หมุนตามเข็ม ก็ต้องลดช่วงพลั๊ซให้แคบลงไปเรื่อยๆ จนไปถึง 0.5 ms เชอร์โวนอเตอร์ก็จะหมุนทางขวาสุด (Full Right)



รูปที่ 3.2 ตัวอย่างพัลส์ที่ป้อนเข้าเซอร์โวมอเตอร์ เพื่อทำการหมุนไปที่ตำแหน่ง 0 องศา

ในรูปที่ 3.2 จากรูปภาพที่ได้เป็นกราฟที่ได้จากโปรแกรม PIC Basic Pro

```
INCLUDE "modedefs.bas"
```

```
DEFINE OSC 4
```

```
TRISC =%00000000
```

```
Low PORTC
```

```
C VAR PORTC
```

```
main:
```

```
    C = 1
```

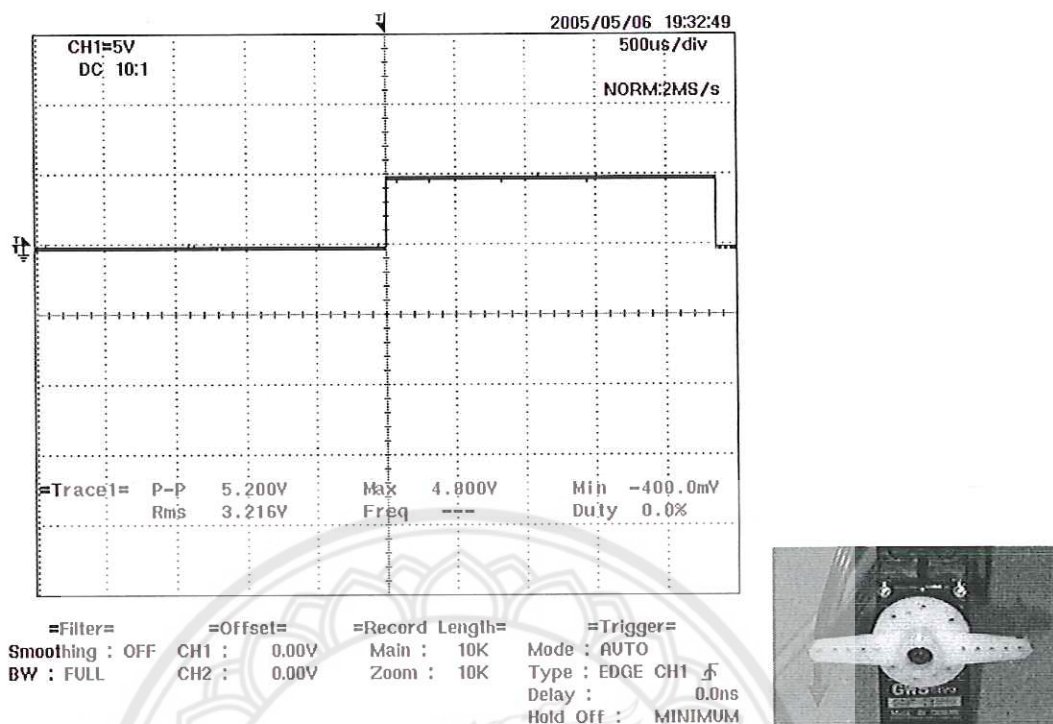
```
    PauseUs 1500
```

```
    C = 0
```

```
    PauseUs 18500
```

```
    GoTo main
```

ซึ่งเป็นการสั่งให้ port c.1 มีอาท์พุตออกเป็นล็อกจิก “1” เป็นเวลา 1500 ไมโครวินาที และสั่งให้ port c.1 มีอาท์พุตออกเป็นล็อกจิก “0” เป็นเวลา 18500 ไมโครวินาที ซึ่งจะได้พัลส์ที่มีความ 20 มิลลิวินาที ผลที่ได้คือเซอร์โวมอเตอร์ จะอยู่ที่ตำแหน่งกึ่งกลาง หรือ สูนยองศา



รูปที่ 3.3 ตัวอย่างพัลส์ที่ป้อนเข้าชอร์โวโนมอเตอร์ เพื่อทำการหมุนไปที่ตำแหน่ง 90 องศา(ทวนเข็ม)

ในรูปที่ 3.3 จากรูปกราฟที่ได้ เป็นกราฟที่ได้จากโปรแกรม PIC Basic Pro ดังนี้

```
INCLUDE "modedefs.bas"
```

```
DEFINE OSC 4
```

```
TRISC=%00000000
```

```
Low PORTC
```

```
C VAR PORTC
```

```
main:
```

```
    C = 1
```

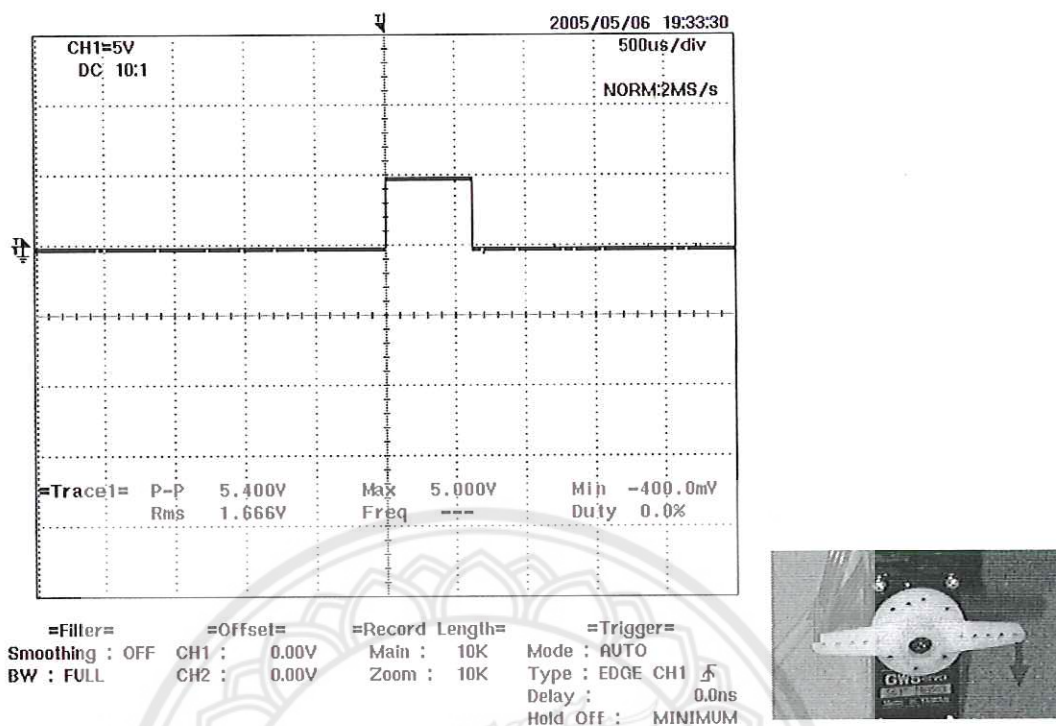
```
    PauseUs 2300
```

```
    C = 0
```

```
    PauseUs 17700
```

```
    GoTo main
```

ซึ่งเป็นการสั่งให้ port c.1 มีเอาท์พุตออกเป็นโลจิก “1” เป็นเวลา 2300 ไมโครวินาที และสั่งให้ port c.1 มีเอาท์พุตออกเป็นโลจิก “0” เป็นเวลา 17700 ไมโครวินาที ซึ่งจะได้พัลส์ที่มีความ 20 มิลลิวินาที ผลที่ได้คือเซอร์โวโนมอเตอร์ จะหมุนทวนเข็มนาฬิกาไปเป็นมุม 90 องศา



รูปที่ 3.4 ตัวอย่างพัลส์ที่ป้อนเข้าเชอร์โวโนมอเตอร์ เพื่อทำการหมุนไปที่ตำแหน่ง 90 องศา(ตามเข็ม)

ในรูปที่ 3.4 จากรูปกราฟที่ได้ เป็นกราฟที่ได้จากโปรแกรม PIC Basic Pro ดังนี้

```
INCLUDE "modedefs.bas"
```

```
DEFINE OSC 4
```

```
TRISC =%00000000
```

```
Low PORTC
```

```
C VAR PORTC
```

```
main:
```

```
    C = 1
```

```
    PauseUs 625
```

```
    C = 0
```

```
    PauseUs 19375
```

```
    GoTo main
```

ซึ่งเป็นการสั่งให้ port c.1 มีเอาท์พุตออกเป็นโลจิก “1” เป็นเวลา 625 ไมโครวินาที และสั่งให้ port c.1 มีเอาท์พุตออกเป็นโลจิก “0” เป็นเวลา 19375 ไมโครวินาที ซึ่งจะได้พัลส์ที่มีความ 20 มิลลิวินาที ผลที่ได้คือเชอร์โวโนมอเตอร์ จะหมุนตามเข็มนาฬิกาไปเป็นมุม 90 องศา

จากการทดลองทั้งสามค่ามุน จะเห็นได้ว่ามีความคลาดเคลื่อนในการควบคุมตำแหน่งเซอร์โวโมเตอร์ในแต่ละทิศทาง เมื่อจากค่าที่สั่งในแต่ละทิศทางไม่เท่ากัน อีกทั้งการวัดมุนเซอร์โวโมเตอร์ แต่ละตัวที่มีค่าไม่เท่ากันด้วย ดังนั้น ในโครงการนี้จึงได้ทำการทดลองเพื่อลดความคลาดเคลื่อนในการใช้งานจริงของเซอร์โวโมเตอร์ โดยทำการป้อนค่าเวลาที่เซอร์โวโมเตอร์แต่ละตัวใช้เพื่อทำการเคลื่อนที่ไปในแต่ละ 1 องศาได้ผลดังตารางที่ 3.1

ตารางที่ 3.1 ค่าเวลาที่สั่งให้เซอร์โวโมเตอร์แต่ละตัวหมุนไป 1 องศาในทิศทางต่างๆ กัน

	ตำแหน่งท่อนขา	มุนขาว (μs)	มุนดำ (μs)
ขวา	ท่อนบน	9.1	9.4
	ท่อนกลาง	9.5	9.6
	ท่อนล่าง	9.3	9.4
ซ้าย	ท่อนบน	9.7	9.7
	ท่อนกลาง	8.9	8.6
	ท่อนล่าง	9.3	9.3

มุนขาวและมุนดำของเซอร์โวโมเตอร์ที่ติดตั้งในขาแต่ละข้าง นิยามดังรูปที่ 3.4



รูปที่ 3.4 มุนของเซอร์โวโมเตอร์ตามที่นิยามไว้

จากวิธีการดำเนินงานที่กล่าวมาข้างต้นในบทนี้ได้ทำการควบคุมเซอร์โวโมเตอร์โดยควบคุมผ่านทางคอมพิวเตอร์และทำให้ทราบถึงค่าการทำงานของเซอร์โวโมเตอร์ที่แท้จริงในแต่ละตัวซึ่งผลการประยุกต์การดำเนินงานจะทำการแสดงในบทที่ 4 ต่อไป

บทที่ 4

ผลการทดลอง

ในบทนี้จะกล่าวถึงผลการทดลองทั้งหมดในโครงการนี้ ซึ่งแบ่งออกเป็นส่วนการวิเคราะห์โปรแกรม MATLAB เพื่อคำนวณหาจุดศูนย์ถ่วงมวล เพื่อตรวจสอบว่าการป้อนค่ามุมดังกล่าวจะทำให้ทุนยนต์ล้มหรือไม่และในหัวข้อ 4.2 จะแสดงผลการเปรียบเทียบระหว่างรูปจากการจำลองการเดินด้วยคอมพิวเตอร์และการทดลองบนทุนยนต์จริง

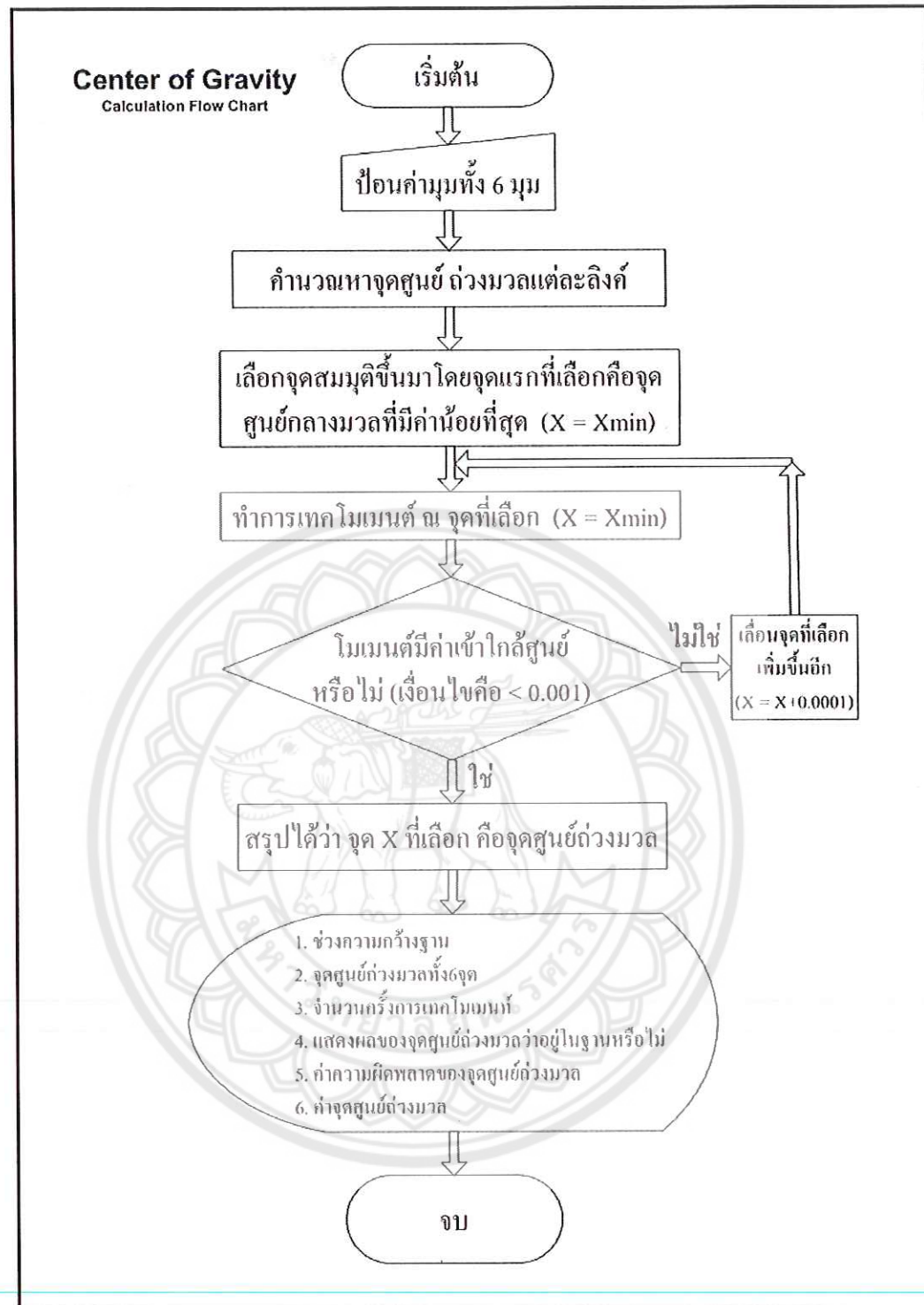
4.1 การใช้ MATLAB ในการคำนวณหา จุดศูนย์ถ่วงมวล

หลักการทำงานของโปรแกรม ก็คือในโปรแกรมจะรับค่าจากนุ่มทั้ง 6 นุ่ม ที่ป้อนเข้ามาเพื่อหาลักษณะของขา หลังจากนั้นทำการคำนวณหาจุดศูนย์ถ่วงมวลของแต่ละลิ้งค์ (ดังที่ได้อธิบายมาแล้วในบทที่ 2) แล้วนำมารวบกันค่าในแนวแกน X เพื่อทำการเทคโนโลยีนี้จะต้องแบ่งค่าในแนวแกน X ที่ได้เป็นส่วนเล็กๆ และจากจุดในแต่ละจุดที่แบ่งได้ต้องทำการเช็คโน้มนต์ว่าเท่ากันศูนย์หรือไม่ ถ้ายังไม่เท่ากันศูนย์ที่ทำไปจะกว้างกว่าจะพับ แล้วส่งค่าจุดนั้นออกมานั่นเองซึ่งก็คือ จุดศูนย์ถ่วงมวลของทุนยนต์

ตัวอย่างการคำนวณและค่าผลลัพธ์ที่แสดงบน MATLAB

```
X_axis = 1.8379 2.3662 4.4915 1.0673 -0.3951 0.1961  
RANG = 4.8866  
Xe = 4.6093  
check_moment = 6.9885e-004  
Xselect = 1.5939  
count = 19891  
center of gravity on base
```

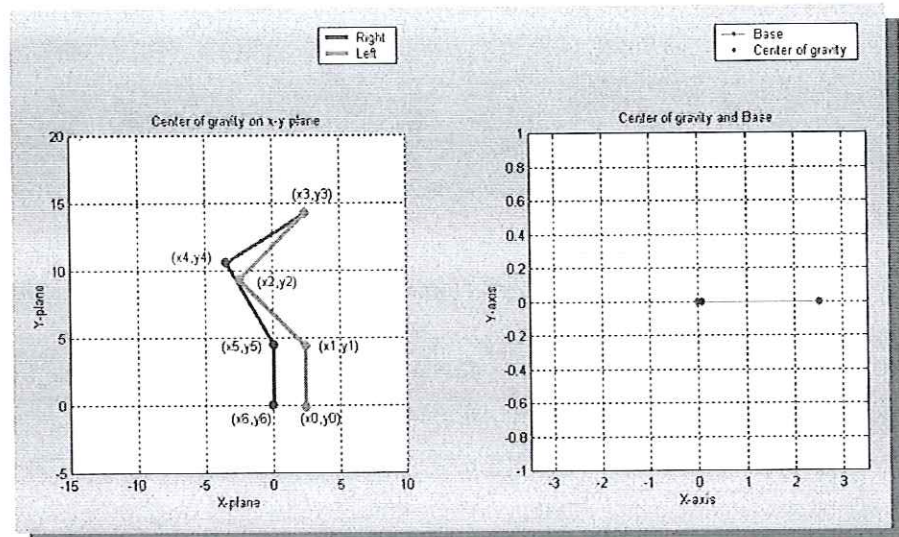
X_axis	คือ จุดศูนย์ถ่วงมวลทั้ง 6 จุด
Xe	คือ ช่วงความกว้างของฐาน
count	คือ จำนวนครั้งที่ทำการเทคโนโลยี
RANG	คือ ช่วงที่ต้องทำการเทคโนโลยี
Xselect	คือ ค่าของจุดศูนย์ถ่วงมวลที่ได้
check_moment	คือ ค่าความติดคลุมของโน้มนต์ในตัวอย่างคือ 6.9885 ในเมตร
center of gravity on base	คือข้อความที่แสดงว่าจุดศูนย์ถ่วงของมวลอยู่ในฐานหรือไม่ ผลของโปรแกรมแสดงดังรูปที่ 4.2



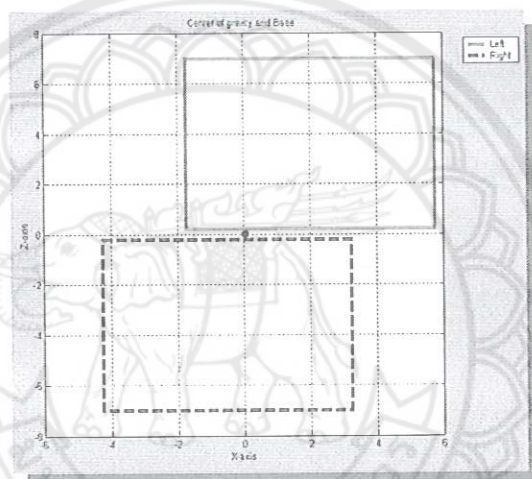
รูปที่ 4.1 ไฟล์ชาร์ทขั้นตอนการทำงานในโปรแกรม MATLAB

ในรูปที่ 4.1 เป็นไฟล์ชาร์ทแสดงขั้นตอนการทำงานของโปรแกรมคำนวณหาจุดศูนย์ค่าของเวลาด้วยโปรแกรม MATLAB โดยขั้นตอนแรกทำการป้อนค่ามุนทั้ง 6 บุน แล้วโปรแกรมจะทำการคำนวณหาจุดศูนย์ค่าของเวลาในแต่ละลิงค์ ต่อไปโปรแกรมจะเลือกจุดสมมุติขึ้นมาโดยเดือดค่าหน่วยของจุดศูนย์ค่าของเวลาที่มีค่าน้อยที่สุดขึ้นเป็นตำแหน่งแรก เพื่อทำการเทคโนโลยีแบบตัวแทนนั้นแล้วเข้าสู่ขั้นตอนตรวจสอบเงื่อนไขว่าโภมานต์ ณ ตำแหน่งนั้นเป็น 0 หรือไม่ (ในโปรแกรมเราใช้ค่า 0.001 แทนค่า 0 เนื่องจากการใช้ค่าศูนย์จะทำให้การทำงานของโปรแกรมมีเวลานาน) ถ้าเงื่อนไขไม่เป็นจริงโปรแกรมจะทำการสุ่มเลือกตำแหน่งที่ใช้เทคโนโลยีแบบตัวแทนนั่งต่อไป (ในโปรแกรมจะเพิ่มค่าตำแหน่งที่ใช้เทคโนโลยีอีก 0.0001) ถ้าเงื่อนไขเป็นจริง จะได้ว่าตำแหน่งที่เลือกคือจุดศูนย์ค่าของเวลาของหุ่นยนต์ แล้วโปรแกรมก็จะทำการแสดงค่าต่างๆ ที่ได้คำนวณออกมาดังในไฟล์ชาร์ท





(ก)



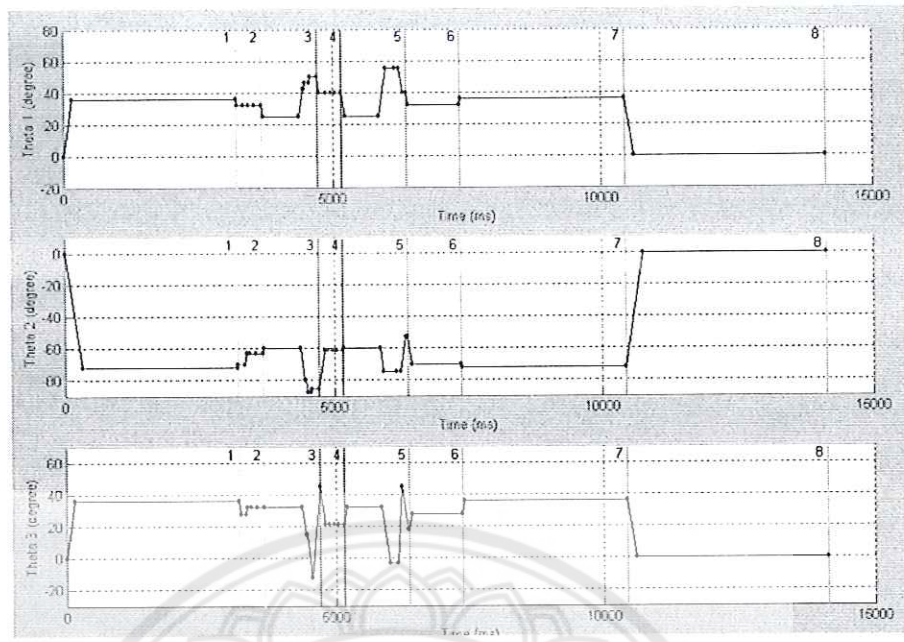
(ข)

รูปที่ 4.2 (ก) จุดศูนย์ถ่วงมวลที่คำนวณได้เทียบกับฐาน

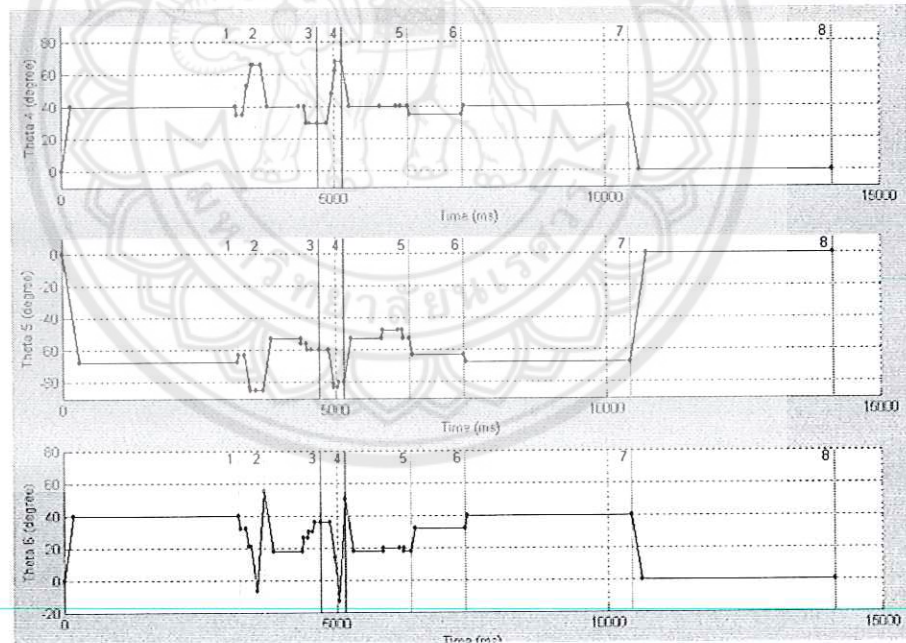
(ข) จุดศูนย์ถ่วงมวลเมื่อมองจากด้านล่าง

ในรูปที่ 4.2 (ก) รูปด้านซ้ายแสดงลักษณะท่าทางของหุ่นยนต์ในแนวแกน X-Y หลังจาก การป้อนค่ามุมทั้ง 6 มุม และรูปด้านขวาแสดงจุดศูนย์ถ่วงมวลของหุ่นยนต์ในระนาบ X-Y ในรูปที่ 4.2 (ข) แสดงจุดศูนย์ถ่วงมวลของหุ่นยนต์ที่ปรับเทียบกับแท่นในระนาบ X-Z โดยที่เส้นประหมายความว่าแท่นข้างหน้าไม่ได้วางอยู่บนพื้น

การกำหนดคุณการเดินในแต่ละขั้นของหุ่นยนต์ จะพิจารณาจากการที่จุดศูนย์ถ่วงมวลใน ตำแหน่งพิกัดของหุ่นยนต์จะต้องไม่ตกนอกฐานแท่นนั้น ซึ่งในโครงงานนี้ได้กำหนดคุณการทำงาน ของแต่ละข้อต่อด้วยรูปที่ 4.3 และรูปที่ 4.4



รูปที่ 4.3 นุ่มตลอดการเดินของขาข้างขวา แต่ละท่อนขาเรียงลำดับจากบนลงล่าง

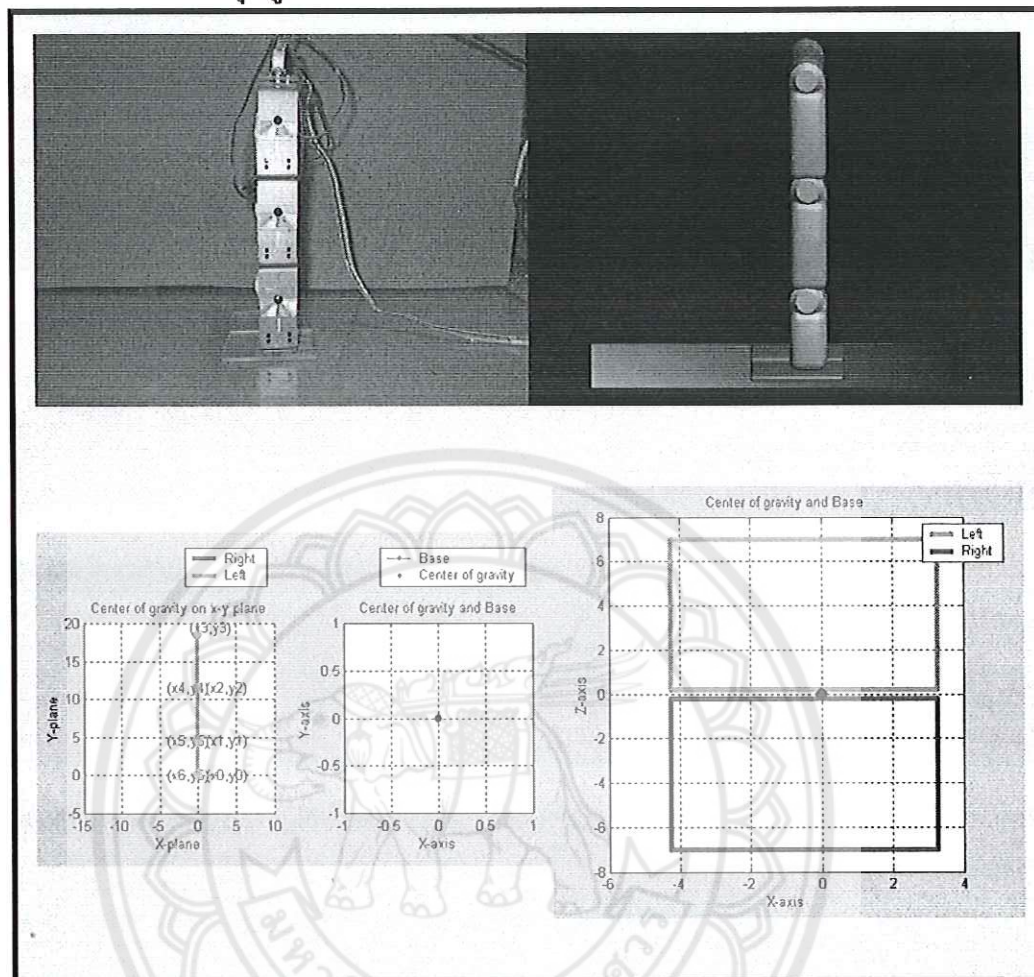


รูปที่ 4.4 นุ่มตลอดการเดินของขาข้างซ้าย แต่ละท่อนขาเรียงลำดับจากบนลงล่าง

ในรูปที่ 4.3 และ รูปที่ 4.4 เป็นกราฟความสัมพันธ์ระหว่างนุนที่ใช้ควบคุมการเดินของหุ่นยนต์และเวลาที่ใช้ในแต่ละท่า โดยหุ่นยนต์จะทำการเดินจากท่าเริ่มต้นแล้วเดิน 1 ก้าวโดยก้าวเท้าซ้ายก่อนแล้วกลับมาเริ่มตั้งแต่เดิม จะเห็นได้ว่าเวลาที่ใช้เป็นช่วงเวลาที่สั้นๆ เนื่องจากว่า เราใช้เซอร์โวมอเตอร์เพียง 6 ตัวเท่านั้น ซึ่งไม่เพียงพอที่จะสามารถรักษาจุดศูนย์ถ่วงมวลให้อยู่ในฐานโดยเร็วที่สุด ดังนั้นบางท่าจึงต้องใช้ท่าอื่นๆ ในการปรับการรักษาจุดศูนย์ถ่วงมวลให้อยู่ในฐานโดยเร็วที่สุด ซึ่งเป็นมุมของข้อเท้าถือว่าเป็นมุมที่มีความสำคัญที่สุด เนื่องจากว่าท่าทางการเดินของหุ่นยนต์นั้นจะใช้ปลายเท้าสัมผัสพื้นแล้วยกสันเท้าขึ้น จากท่านี้เองจะทำให้จุดศูนย์ถ่วงมวลของเท้าข้างที่ทำชั้นนั้น นำหน้าข้างที่สัมผัสพื้น แล้วจากนั้นกีบกปลายเท้าพร้อมกับบีดตัวขึ้นจะทำให้มีแรงเสียดยุ่งขึ้นไปในแนวเดิมช่วยทำให้ท่าการยกปลายเท้าขึ้นนั้น มีการเอียงไปด้านนั้นๆ น้อยลง หลังจากขั้นตอนนี้ ก็จะส่งให้หุ่นยนต์ทำการย่อตัวรับเท้าข้างที่ลอยอยู่บนอากาศทันที ซึ่งพิจารณาได้จากการไฟระหว่างขั้นตอนที่ 6 ถึงขั้นตอนที่ 7 ข้างต้น โดยมุมที่เป็นมาก หมายความว่าลิงค์มีลักษณะการเคลื่อนที่มาด้านหน้าและในทางตรงกันข้าม มุมที่เป็นลบหมายความว่า ลิงค์มีลักษณะการเคลื่อนที่มาด้านหลัง ดังนั้นขั้นตอนที่ 6 ถึงขั้นตอนที่ 7 หุ่นยนต์จะอยู่ในท่าขึ้นตัวตามที่ได้กล่าวมาข้างต้น



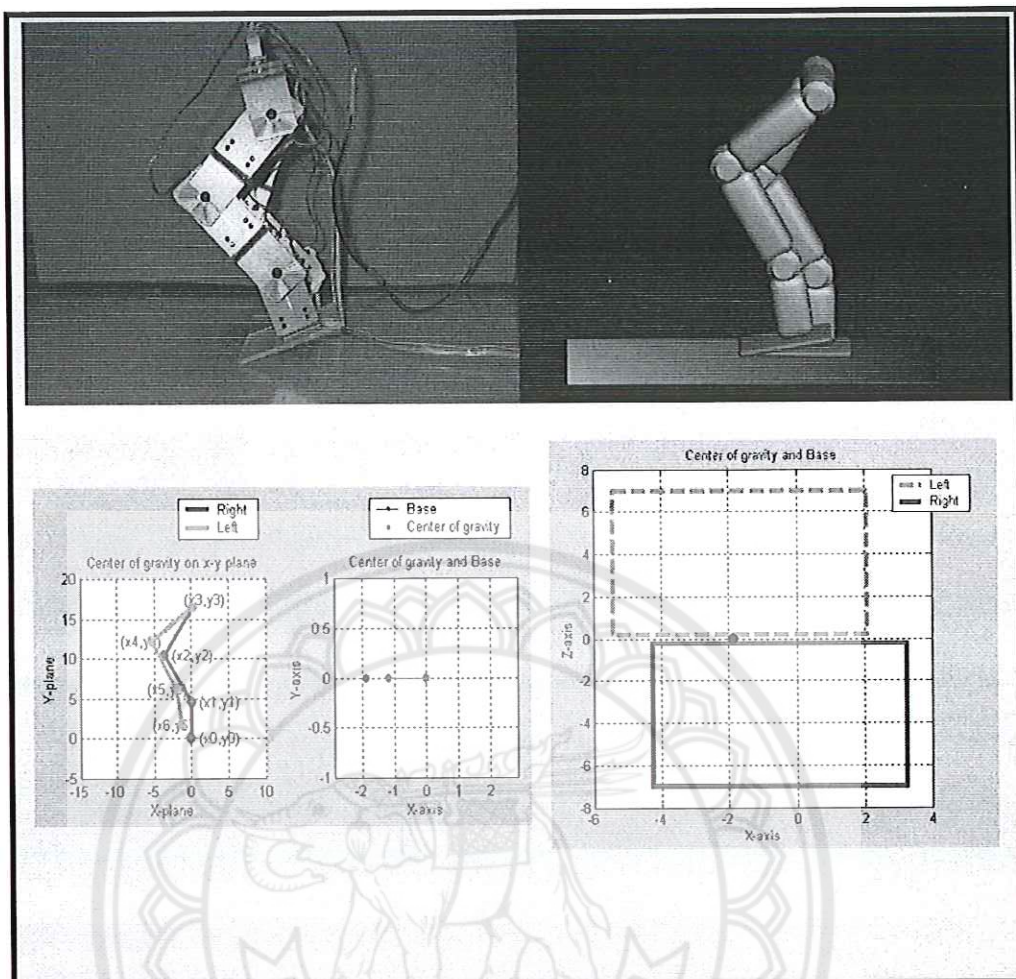
4.2 ผลการเปรียบเทียบระหว่างมุนที่ต้องการกับมุนที่ได้จากการทดลองจริง และ กราฟแสดงตำแหน่งจุดศูนย์ถ่วงมวล



รูปที่ 4.5 การเปรียบเทียบระหว่างมุนที่ต้องการกับมุนที่ได้จากการทดลองจริง และ กราฟแสดงตำแหน่งจุดศูนย์ถ่วงมวล

ตารางที่ 4.1 ค่าของมุนและเวลาหน่วงในช่วงที่สัญญาณที่เป็นกลอจิก “1”

	มุน		เวลาหน่วงในช่วงที่สัญญาณที่เป็นกลอจิก “1”	
	ขวา	ซ้าย	ขวา	ซ้าย
ขาท่อนบน	0	0	1500	1500
ขาท่อนกลาง	0	0	1500	1500
ขาท่อนล่าง	0	0	1500	1500



รูปที่ 4.6 การเปรียบเทียบระหว่างมุมที่ต้องการกับมุมที่ได้จากการทดลองจริง และ กราฟแสดงตำแหน่งจุดศูนย์ต่ำมวลด

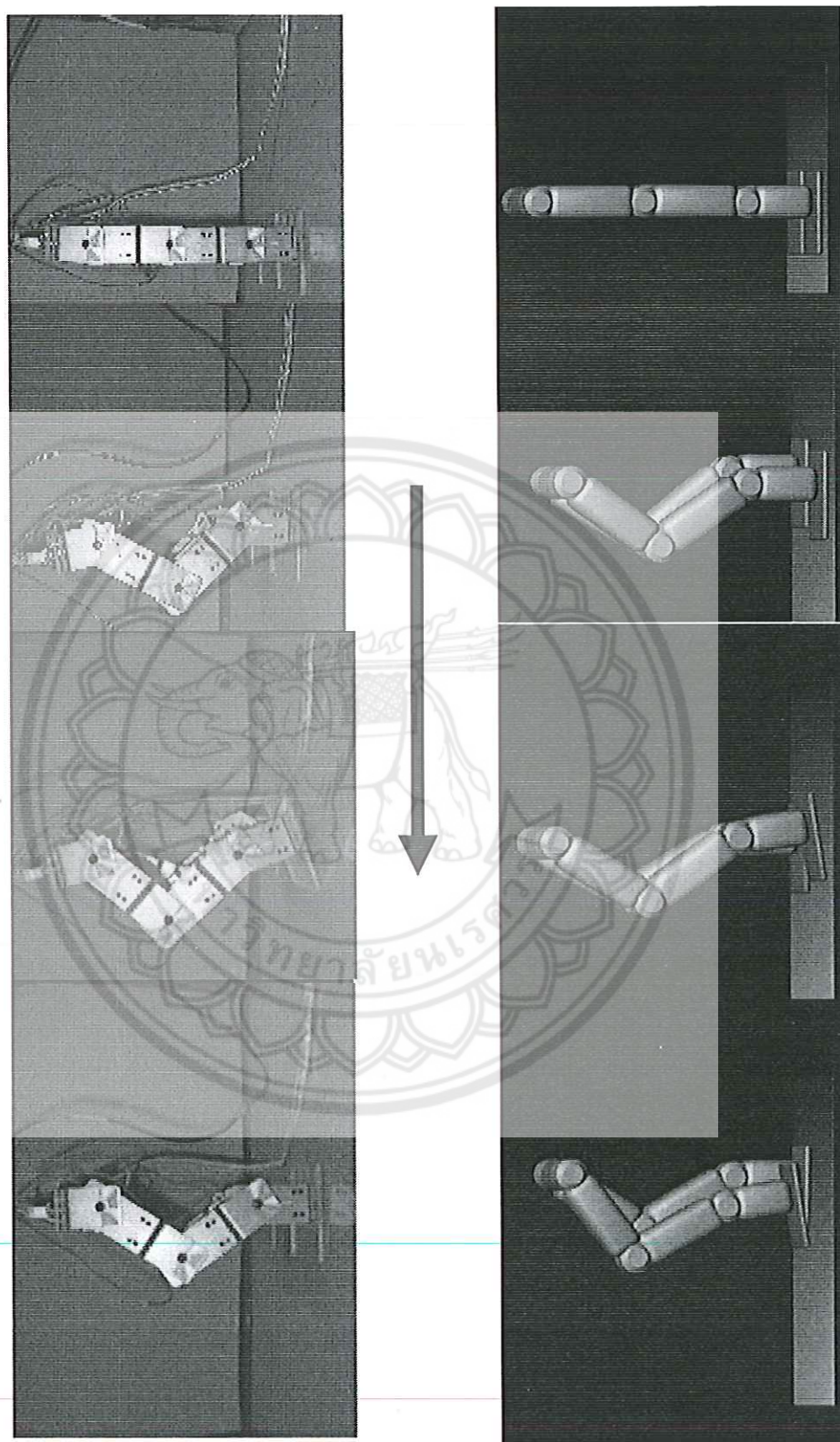
ตารางที่ 4.2 ค่าของมุมและเวลาหน่วงในช่วงที่สัญญาณที่เป็นลอดจิก “1”

	มุม		เวลาหน่วงในช่วงที่สัญญาณที่เป็นลอดจิก “1”	
	ขวา	ซ้าย	ขวา	ซ้าย
ขาท่อนบน	32	53	1791.2	985.9
ขาท่อนกลาง	-63	-83	895.2	2213.8
ขาท่อนล่าง	32	21	1797.6	1304.7

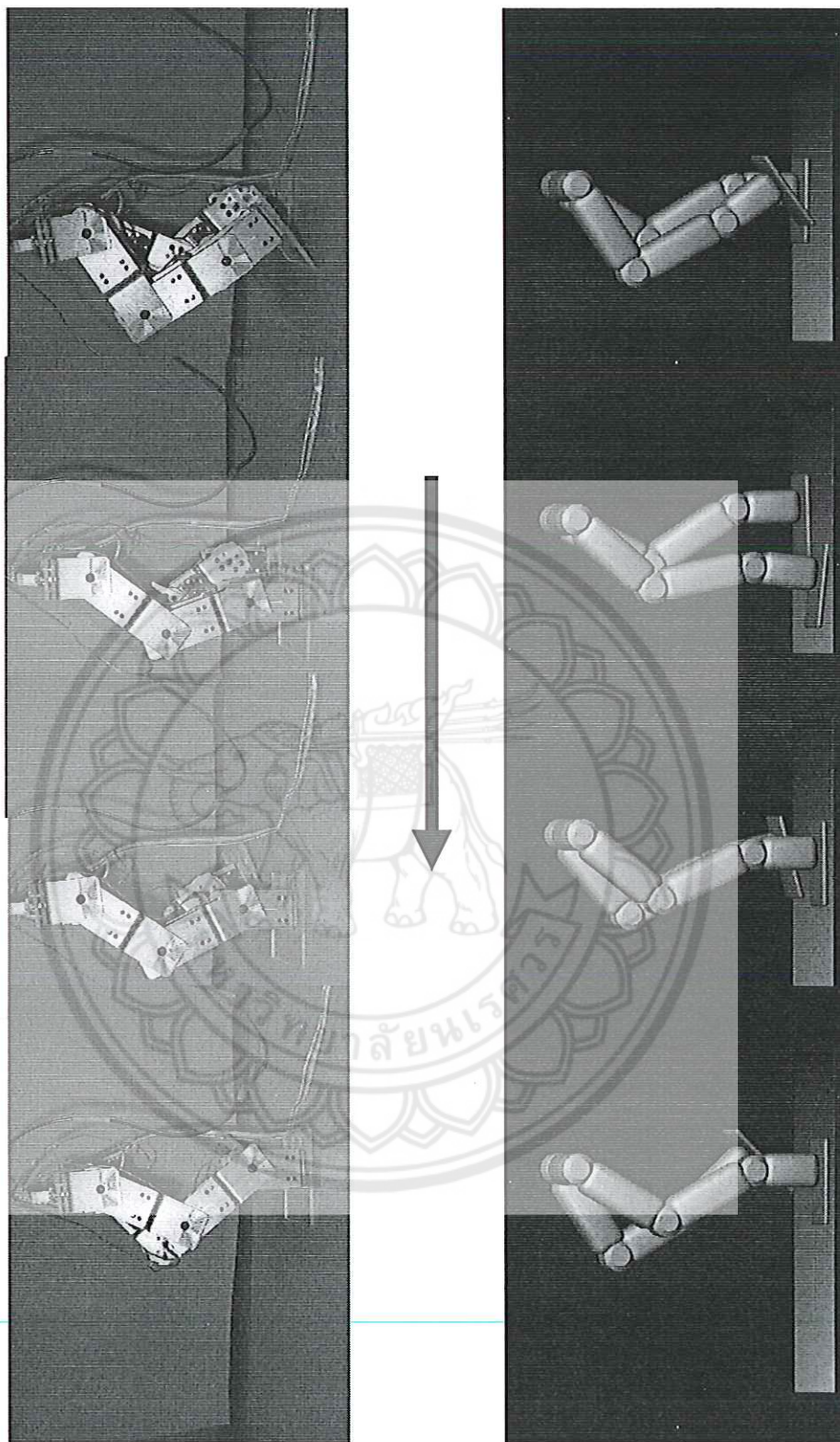
ในรูปที่ 4.5 คือผลการเปรียบเทียบระหว่างลักษณะท่าทางของหุ่นยนต์ ที่ได้จากการป้อนค่ามุนในแต่ละท่า กับรูปที่ได้จากการป้อนค่ามุนของท่านนั้นๆ ในโปรแกรม 3-D MAX และรูปกราฟด้านล่างเป็นการแสดงจุดสูงขึ้นของมวลในระนาบ X-Y และในระนาบ X-Z และในตารางที่ 4.1 คือค่ามุนของขาแต่ละท่อที่แสดงในรูปที่ 4.5 และในรูปที่ 4.6 กับตารางที่ 4.2 ที่สามารถอธิบายได้ในทำนองเดียวกันกับที่ได้กล่าวมาข้างต้น เพียงแต่ท่าทางเปลี่ยนไป



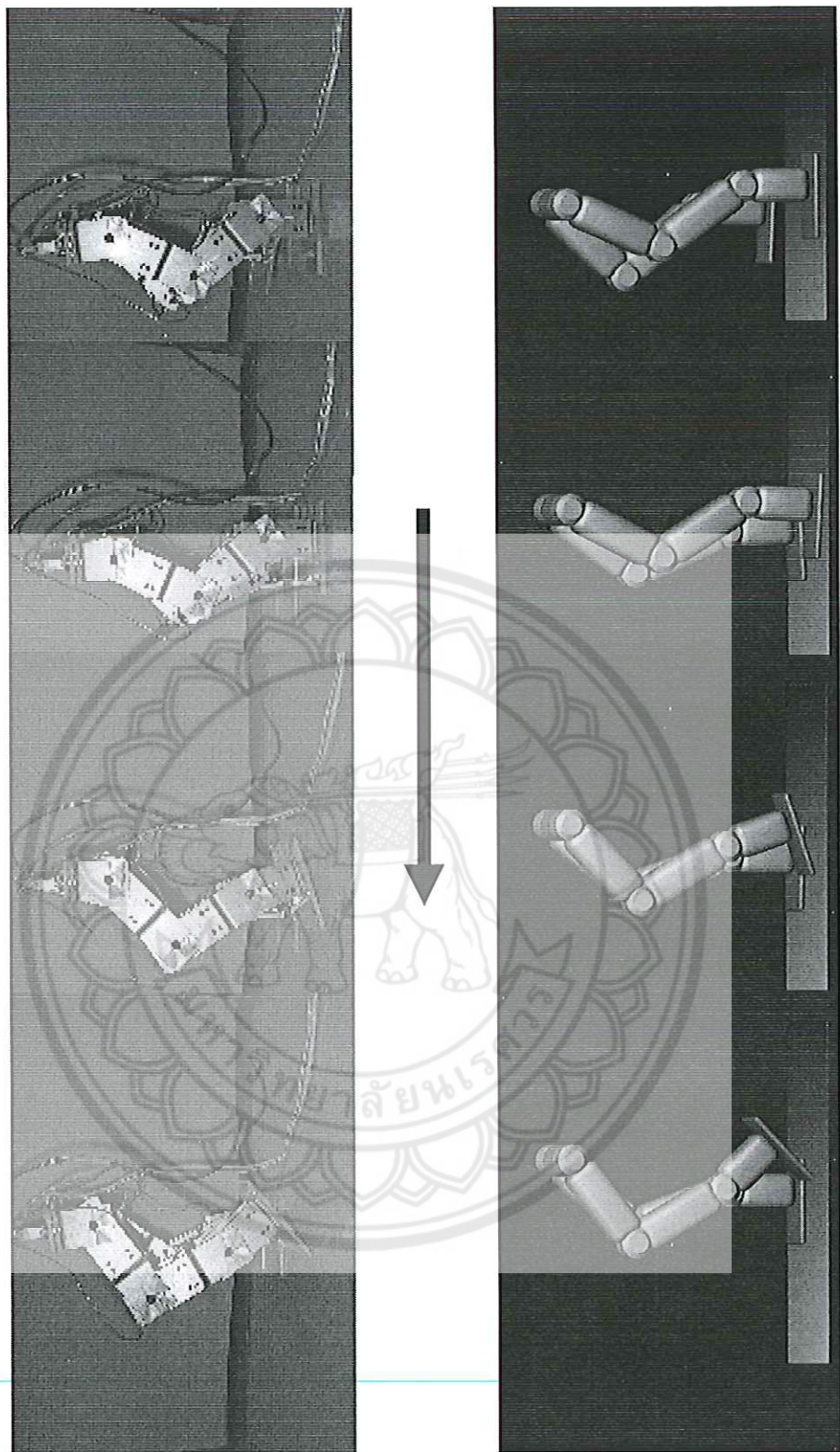
4.3 การเปรียบเทียบรูปการเดินระหว่างหุ่นยนต์จริงกับรูปจากการจำลองด้วยโปรแกรม



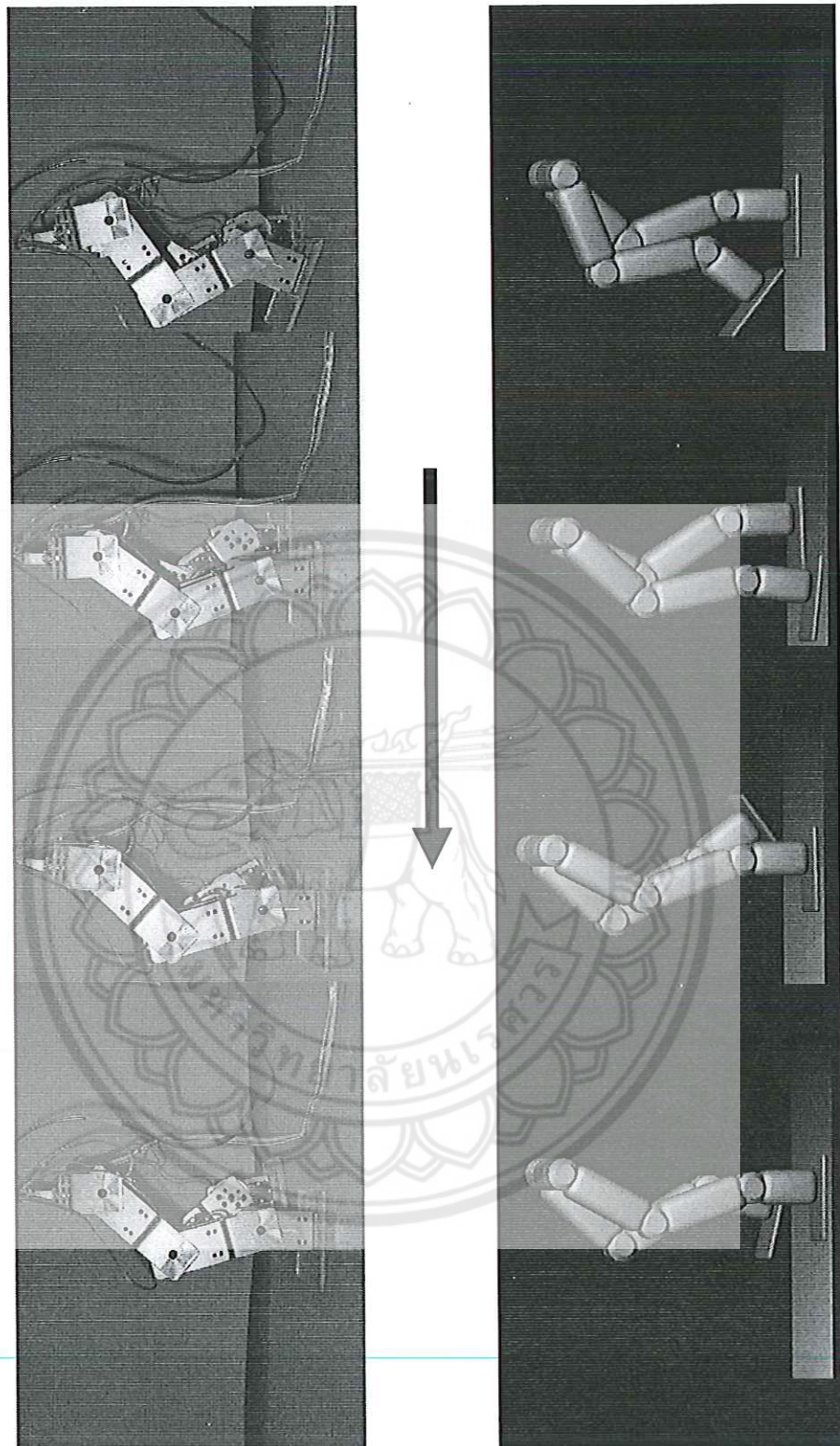
รูปที่ 4.7 การเปรียบเทียบรูปการเดินระหว่างหุ่นยนต์จริงกับรูปจากการจำลองด้วยโปรแกรม



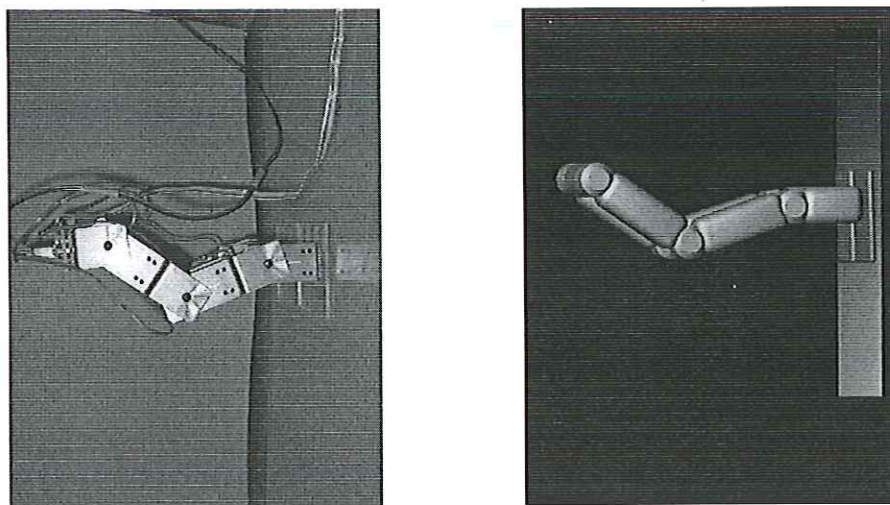
รูปที่ 4.7 (ต่อ) การเปรียบเทียบรูปการเดินระหว่างหุ่นยนต์จริงกับรูปจากการจำลองด้วยโปรแกรม



รูปที่ 4.7 (ต่อ) การเปรียบเทียบรูปการเดินระหว่างผู้คนทั่วไปกับรูปจากการจำลองด้วยโปรแกรม



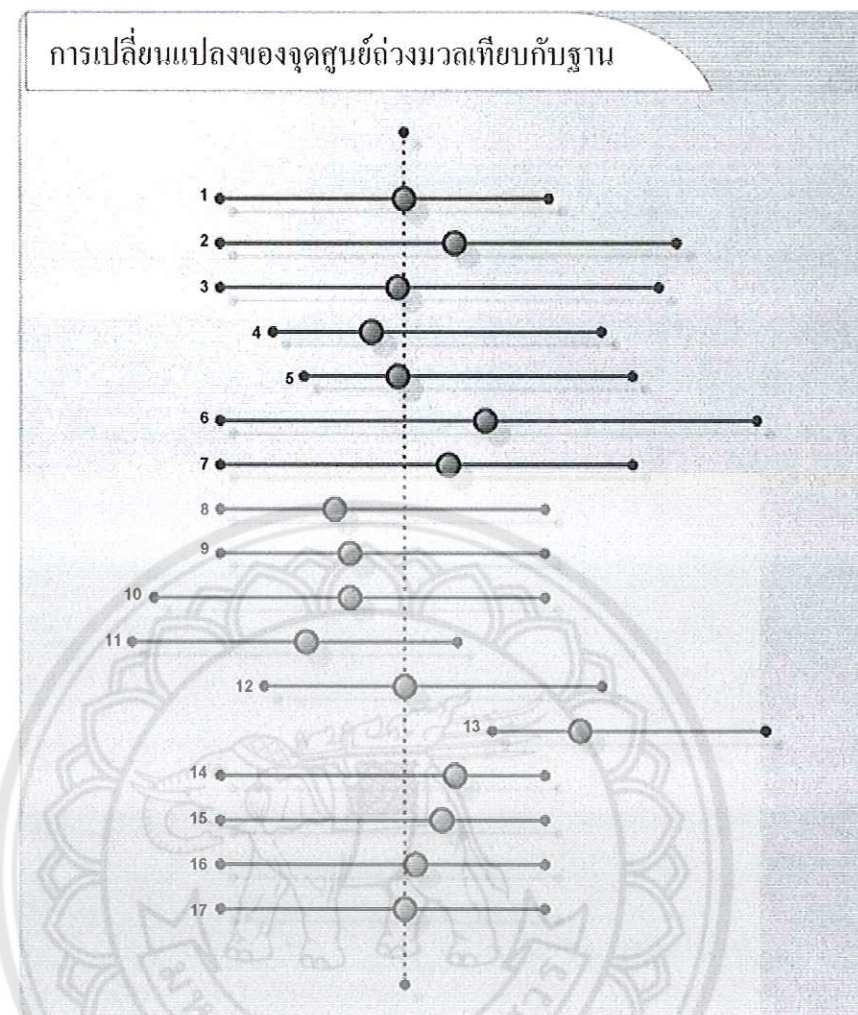
รูปที่ 4.7 (ต่อ) การเปรียบเทียบรูปการเดินระหว่างกุญแจตั้งริงกับรูปจากการจำลองด้วยโปรแกรม



รูปที่ 4.7 (ต่อ) การเปรียบเทียบรูปการเดินระหว่างหุ่นยนต์จริงกับรูปจากการจำลองด้วยโปรแกรม

ในรูปที่ 4.7 เป็นการเปรียบเทียบท่าทางการเดินทั้ง 17 ท่าระหว่างการเดินของหุ่นยนต์จริง กับรูปที่ได้จากการจำลองโดยโปรแกรม 3D-MAX เพื่อตรวจสอบความถูกต้องของท่าแต่ละท่า

4.4 การเปลี่ยนแปลงจุดศูนย์ต่อมวลเทียบกับฐานตลอดขั้นตอนการเดิน



รูปที่ 4.8 การเปลี่ยนแปลงจุดศูนย์ต่อมวลเทียบกับฐานตลอดขั้นตอนการเดินของหุ่นยนต์

หมายเหตุ

1. ●—● กือระบบฐานที่เทียบจากเท้าของหุ่นยนต์
2. ● กือตำแหน่งของจุดศูนย์กลางมวล
3. ●···● กือแนวอ้างอิงที่ค่าศูนย์ในแกน X

ในรูปที่ 4.8 แสดงการเปลี่ยนแปลงของจุดศูนย์ต่อมวลเทียบกับฐานตลอดขั้นตอนการเดินของหุ่นยนต์ตั้งแต่ท่าที่ 1 ถึงท่าที่ 17 จากทฤษฎีในบทที่ 2 เราได้อ้างอิงให้ข้อเท้าข้างหนึ่งอยู่ในตำแหน่ง $(0,0)$ ในระบบ X-Y ดังนั้น ในรูปที่ 4.8 จึงทำการplot ค่าของจุดศูนย์ต่อมวลกับระบบของฐาน โดยใช้ค่าอ้างอิงที่ตำแหน่ง $(0,0)$ จากท่าที่ 1 ถึงท่าที่ 17 ซึ่งใช้ฐานที่อ้างอิงมาจากเท้าของหุ่นยนต์ข้างที่วางอยู่บนพื้นดังรูปที่ 4.8

จากผลการทดลองที่ปรากฏข้างต้นได้ทำการนำทฤษฎีในบทที่ 2 มาทำการเขียนโปรแกรมในการคำนวณหาจุดศูนย์ถ่วงมวลเพื่อตรวจสอบการทรงตัวของหุ่นว่าสามารถทรงตัวอยู่ได้หรือไม่ในแต่ละท่า และใช้ความรู้ในบทที่ 3 มาทำการประยุกต์ใช้ในการขับเคลื่อนเซอร์โวนอเตอร์ทั้ง 6 ตัวให้สัมพันธ์กันและบังทึกทำการตรวจสอบความถูกต้องของกระบวนการท่าในแต่ละท่าไว้ถูกต้องหรือไม่โดยใช้โปรแกรม 3D-MAX ทำให้ได้กระบวนการเดินที่สมบูรณ์แบบยิ่งขึ้น ซึ่งจะทำการสรุปผลที่ได้ทั้งหมดในบทที่จะกล่าวต่อไป



บทที่ 5

บทสรุป

จากการศึกษาเรื่องของทฤษฎีเกี่ยวกับการเดินของหุ่นยนต์ในโครงการนี้สามารถสรุปผลและเสนอแนะแนวทางได้ดังนี้

5.1 สรุปผล

จากการศึกษาโครงการในเรื่องนี้ได้ทำการศึกษาทางด้านคinematikส์ (Kinematics) และการควบคุมเชอร์โวโนเตอร์ผ่านทางคอมพิวเตอร์ จากทฤษฎีที่ได้กล่าวมาข้างต้นทำให้ทราบว่า การพิจารณาจุดศูนย์ถ่วงนั้นมีความสำคัญอย่างยิ่งทั้งในด้านการควบคุมการทรงตัว และการเคลื่อนที่ และจากการทดสอบการเดินของหุ่นยนต์ได้ผลว่า หุ่นยนต์ที่ทำการทดสอบ เมื่อต้องการควบคุมให้หุ่นยนต์โน้มตัวไปข้างหน้าทำได้โดย การควบคุมให้จุดศูนย์ถ่วงเคลื่อนไปข้างหน้า ซึ่งจะเป็นการสร้างแรงเสียดยังให้กับหุ่นยนต์ ในขณะเดียวกันนั้นก็ทำการก้าวเท้าโดยควบคุมเชอร์โวโนเตอร์ให้สัมภันธ์กันทั้ง 6 ตัว เพื่อให้เป็นการก้าวสำหรับคำยันป้องกันการล้มของหุ่นยนต์ ลักษณะเช่นนี้ก็ถือว่าเป็นการก้าวเดินของหุ่นยนต์ได้ 1 ก้าว ถ้าทำการลับขา เพื่อทำการก้าวเพื่อคำยันไปเรื่อยๆ จะเป็นการควบคุมให้หุ่นยนต์เคลื่อนที่เดินไปข้างหน้าได้ โดยการใช้ทฤษฎีฟอร์เวร์ด คinematikส์มาใช้ในการตรวจสอบจุดศูนย์ถ่วงว่าอยู่ภายใต้มาตรฐาน โดยสามารถตรวจสอบได้สองวิธีคือใช้วิธีการคำนวณด้วยทฤษฎี และการคำนวณด้วยโปรแกรม MATLAB

ดังนั้นจึงสรุปได้ว่า ถ้าทำการควบคุมตำแหน่งของจุดศูนย์ถ่วงให้อยู่ในฐาน ได้ก็จะทำให้การเคลื่อนที่ของหุ่นยนต์นั้นสามารถเคลื่อนที่ไปได้โดยไม่ล้ม กล่าวคือ ถ้าพิจารณาการเคลื่อนตำแหน่งของจุดศูนย์ถ่วงทางด้านหน้าอย่างเดียว ก็สามารถสร้างแรงเสียดยังในแนวระนาบได้ เช่นกัน ซึ่งแรงเสียดยังในแนวระนาบนี้จะเป็นแรงที่ผลักดันให้หุ่นยนต์ก้าวเท้าเพื่อการเคลื่อนที่ได้ แต่ถ้าทำการพิจารณาท่าทางท่าซึ่งจุดศูนย์ถ่วงมวลไม่ให้อยู่ภายใต้ฐานตามทฤษฎีแล้วหุ่นจะไม่สามารถคงตัวอยู่ได้จึงจำเป็นต้องใช้ท่าอื่นมารองรับด้วยเวลาอันรวดเร็วที่จะทำให้หุ่นทำการทรงตัวได้ตามปกติ

5.2 ปัญหา ข้อเสนอแนะ และแนวทางแก้ไข

ในโครงการนี้ปัญหาส่วนหนึ่งเกิดจากเชอร์โวโนเตอร์ที่ไม่มีความเที่ยงตรง และใช้กำลังไฟฟ้ามาก อีกทั้งแต่ละตัวไม่เหมือนกันทำให้การออกแบบยุ่งยากและทำให้การเขียนโปรแกรมยากขึ้น ด้วย ดังนั้นการเลือกเชอร์โวโนเตอร์ที่มีคุณภาพดีจะทำให้ลดขั้นตอนและความยุ่งยากเหล่านี้ได้

5.3 แนวทางในการพัฒนาในอนาคต

1. ใช้ระบบนิวเมติก (Pneumatic) ในการควบคุมโดยระบบการส่งกำลังออกจากต้นทางไปยังปลายทางโดยอาศัยลมเป็นตัวกลางในการส่งกำลังและควบคุมการทำงานด้วยระบบลมผสมไฟฟ้า
2. ใช้การควบคุมโดยทำการวิเคราะห์เชิงไดนามิก
3. ใช้เดินในพื้นผิวแบบอื่นๆ ได้อีก
4. เคลื่อนไหวได้มากกว่าการเดิน เช่น วิ่ง กระโดด เดินข้าม
5. ใช้แหล่งจ่ายกำลังไฟฟ้า(Power Supply) แบบเคลื่อนที่ได้ และสามารถสั่งงานแบบไร้สาย (Wireless)



เอกสารอ้างอิง

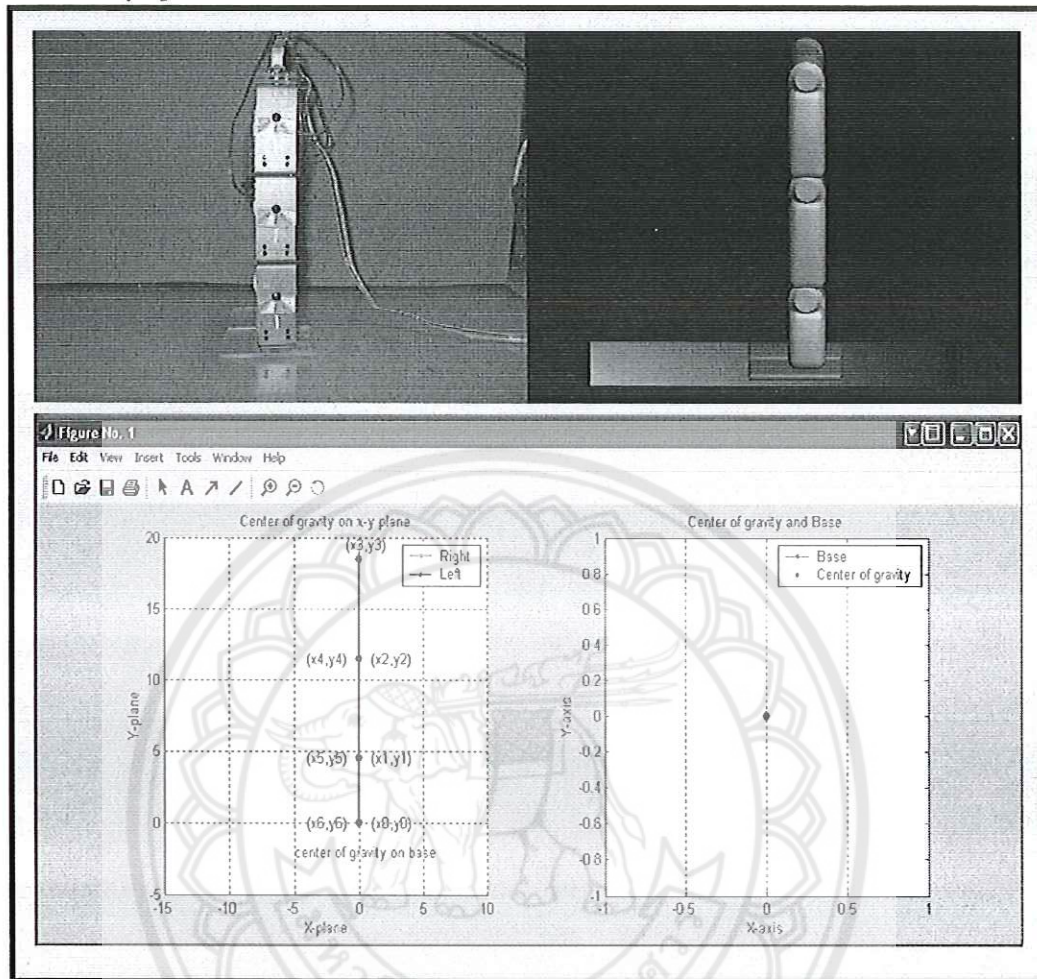
- [1] รศ.ดร.มนัส สังวรศิลป์. วรรัตน์ ภัทรอมรคุล. คู่มือโปรแกรม MATLAB ฉบับสมบูรณ์.
กรุงเทพมหานคร : สำนักพิมพ์อินโฟเพรส. 2543.
- [2] อภิชาติ ภู่พลับ. เรียนต้นเขียนโปรแกรมติดต่อและควบคุมอาร์ดแวร์ด้วย Visual Basic.
กรุงเทพมหานคร : Infopress Developer Book. 2546.
- [3] กิตติ ภักดีวัฒนาภุก. จำลอง ครุยุตสาหะ. Visual Basic6 ฉบับฐานข้อมูล. พิมพ์ครั้งที่ 5.
กรุงเทพมหานคร : บริษัท เกทีพี คอมพ์ แอนด์ คอนซัลท์ จำกัด . 2546.
- [4] พศ.ธีรวัฒน์ ประกอบผล. การประยุกต์ใช้งานในโกรคอนโทรลเลอร์. พิมพ์ครั้งที่ 6.
กรุงเทพมหานคร : สำนักพิมพ์ ส.ส.ท. 2546.
- [5] ดอนสัน ปอพาน. การเขียนโปรแกรมภาษาซีในงานควบคุม. กรุงเทพมหานคร : สำนักพิมพ์ ส.ส.ท. 2547.
- [6] กฤษดา ใจเย็น. พัฒนาผล วงศ์สุนทรชัย. ชัยวัฒน์ ลิ่มพรจิตรวิໄລ. เรียนรู้และใช้งาน Pic BASIC Pro คอมไฟแอล อินโนเวทีฟ เอ็กเนอริเมนต์ จำกัด. 2521.
- [7] H.K. Lum, M. Zribi*, Y.C. Soh. "Planning and control of a biped robot". School of Electrical and Electronic Engineering, Nanyang Technological University, Nanyang Avenue, Singapore 639798, Singapore. 1998.

ภาคผนวก

ผลการเปรียบเทียบระหว่างมุ่งที่ต้องการกับมุ่งที่ได้จากการทดลองจริง และ กราฟแสดง
ตำแหน่งจุดศูนย์ถ่วงมวล



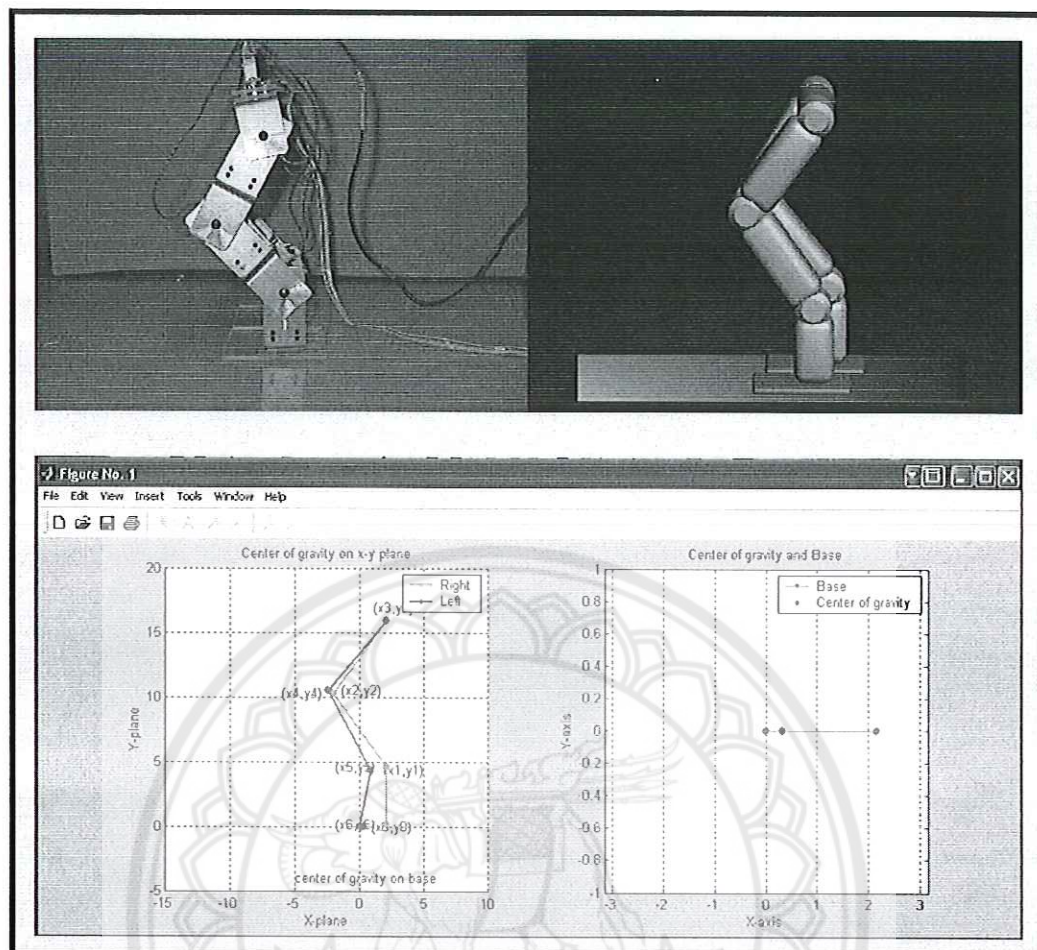
ผลการเปรียบเทียบระหว่างมุมที่ต้องการกับมุมที่ได้จากการทดลองจริง และ กราฟแสดงตำแหน่งจุดศูนย์ถ่วงมวล



รูปที่ ภาคผนวก 1 การเปรียบเทียบระหว่างมุมที่ต้องการกับมุมที่ได้จากการทดลองจริง และ กราฟแสดงตำแหน่งจุดศูนย์ถ่วงมวล

ตารางที่ ภาคผนวก 1 ค่าของมุมและเวลาหน่วงในช่วงที่สัญญาณที่เป็นลอจิก “1”

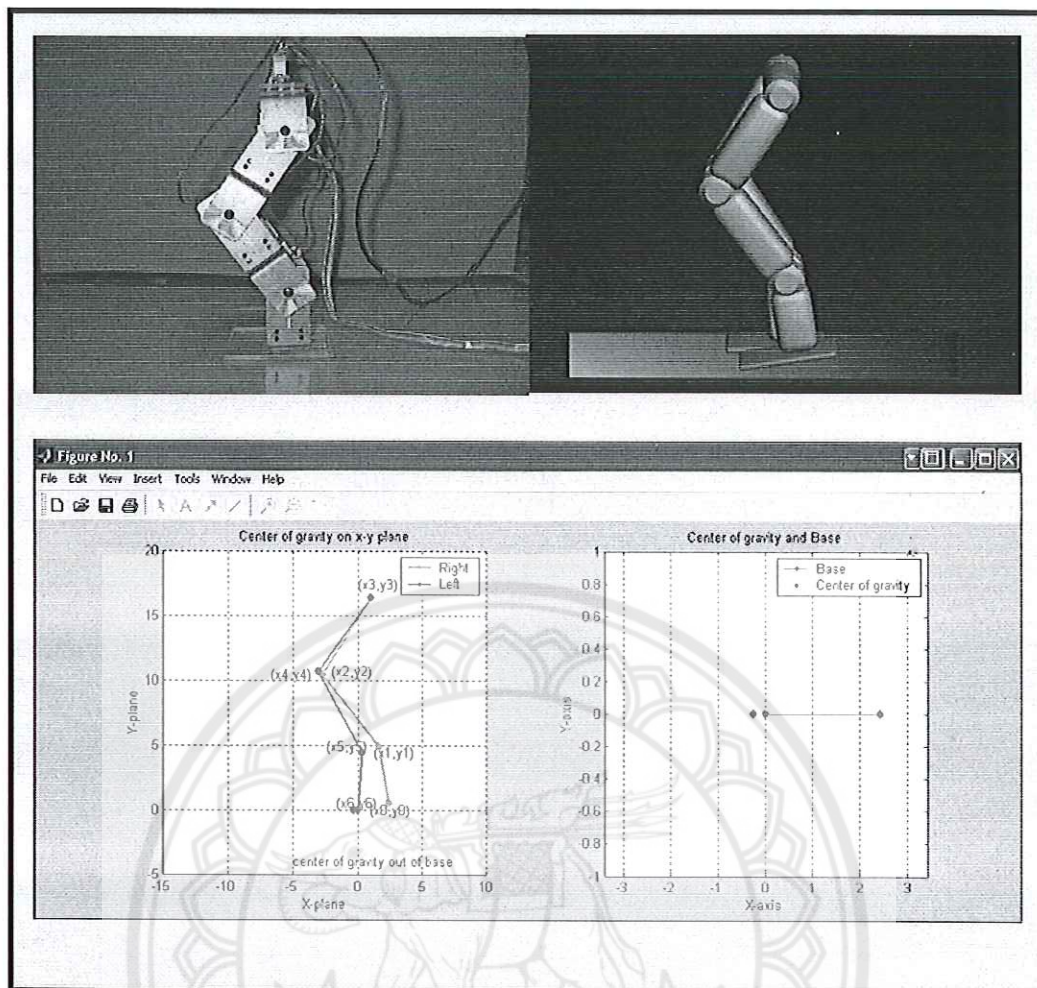
มุม		เวลาหน่วงในช่วงที่สัญญาณที่เป็นลอจิก “1”	
ขาขวา	ขาซ้าย	ขาขวา	ขาซ้าย
ขาท่อนบน	0	0	1500
ขาท่อนกลาง	0	0	1500
ขาท่อนล่าง	0	0	1500



รูปที่ ภาคผนวก 2 การเบรี่ยบเทียบระหว่างมุมที่ต้องการกับมุมที่ได้จากการทดสอบจริง และ กราฟแสดงตำแหน่งจุดศูนย์ถ่วงมวล

ตารางที่ ภาคผนวก 2 ค่าของมุมและเวลาหน่วงในช่วงที่สัญญาณที่เป็นโลจิก “1”

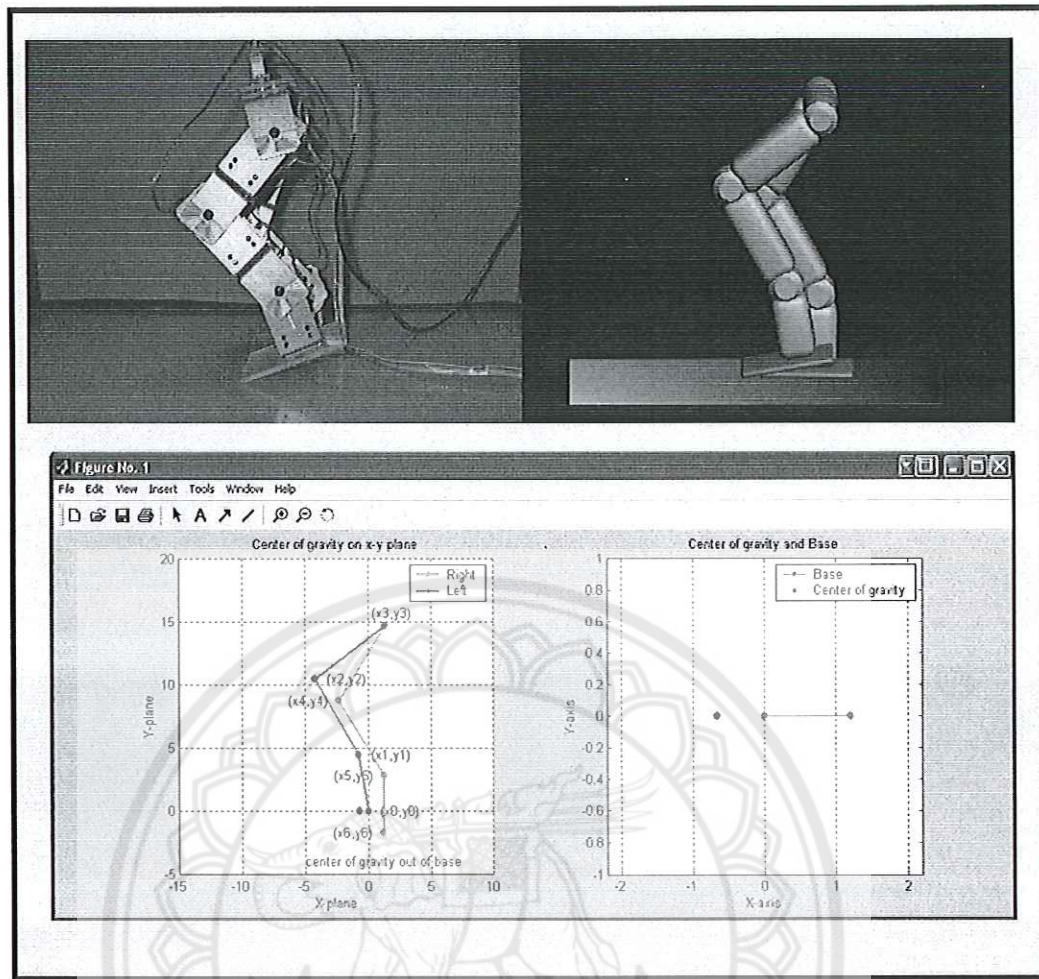
มุม		เวลาหน่วงในช่วงที่สัญญาณที่เป็นโลจิก “1”	
ขวา	ซ้าย	ขวา	ซ้าย
ขาท่อนบน	36	40	1827.6
ขาท่อนกลาง	-72	-63	808.8
ขาท่อนล่าง	36	40	1834.8



รูปที่ ภาคผนวก 3 การเบรี่ยบเพิ่มระหว่างมุมที่ต้องการกับมุมที่ได้จากการทดสอบจริง และ กราฟแสดงตำแหน่งจุดศูนย์ถ่วงมวล

ตารางที่ ภาคผนวก 3 ค่าของมุมและเวลาหน่วงในช่วงที่สัญญาณที่เป็นโลจิก “1”

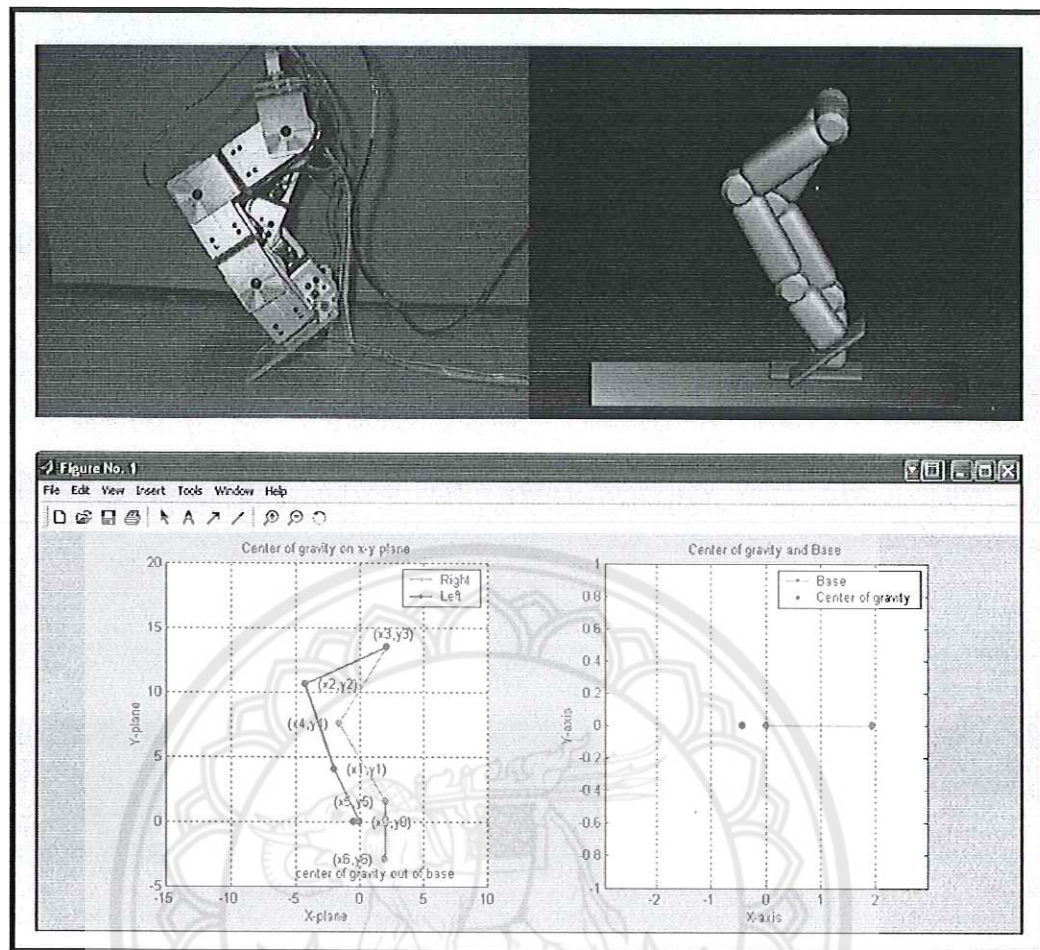
	มุม		เวลาหน่วงในช่วงที่สัญญาณที่เป็นโลจิก “1”	
	ขวา	ซ้าย	ขวา	ซ้าย
ขาท่อนบน	32	35	1791.2	1160.5
ขาท่อนกลาง	-70	-63	828	2041.8
ขาท่อนล่าง	28	32	1760.4	1202.4



รูปที่ ภาคผนวก 4 การเบริ่งเทียบระหว่างมุนที่ต้องการกับมุนที่ได้จากการทดลองจริง และ กราฟแสดงตำแหน่งจุดศูนย์ต่อว่างวลด

ตารางที่ ภาคผนวก 4 ค่าของมุนและเวลาหน่วงในช่วงที่สัญญาณที่เป็นลอดจิก “1”

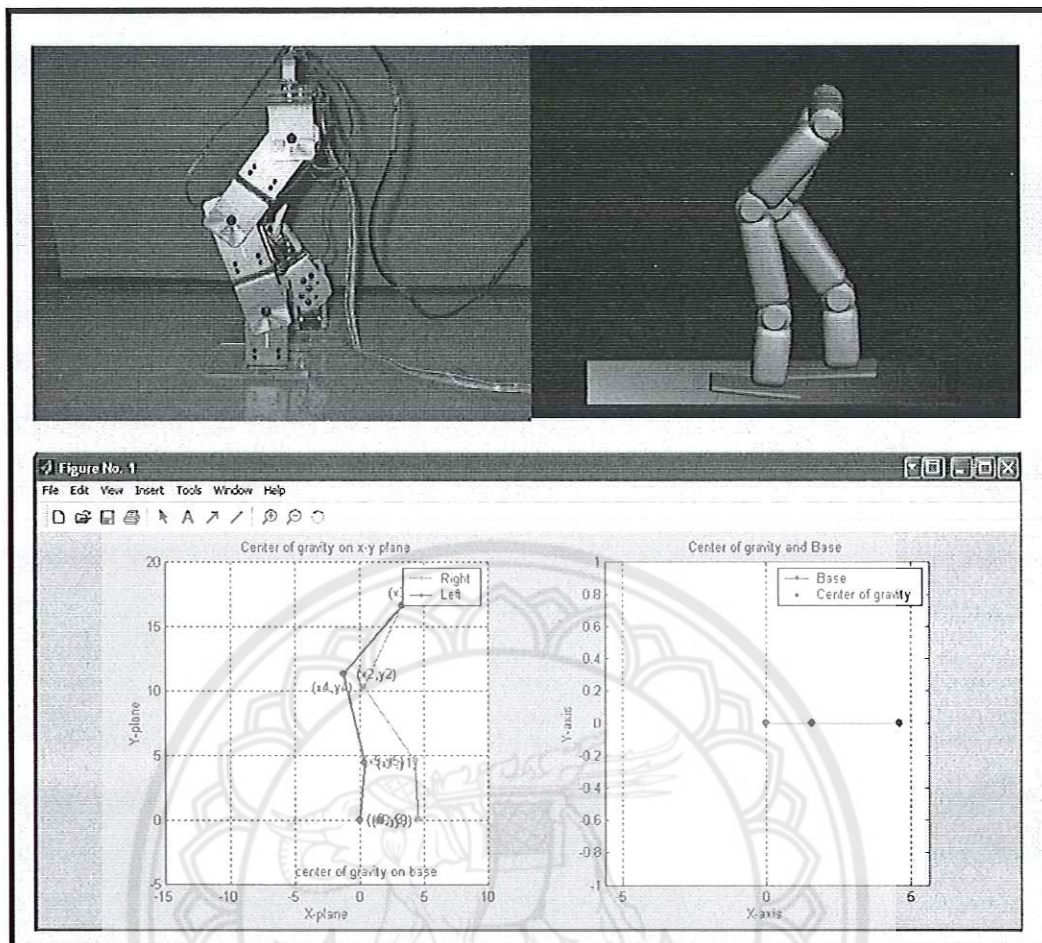
	มุน		เวลาหน่วงในช่วงที่สัญญาณที่เป็นลอดจิก “1”	
	ขาขวา	ขาซ้าย	ขาขวา	ขาซ้าย
ขาท่อนบน	32	53	1791.2	985.9
ขาท่อนกลาง	-63	-83	895.2	2213.8
ขาท่อนล่าง	32	21	1797.6	1304.7



รูปที่ ภาคผนวก 5 การเปรียบเทียบระหว่างมุมที่ต้องการกับมุมที่ได้จากการทดลองจริง และ กราฟแสดงตำแหน่งจุดศูนย์ถ่วงมวล

ตารางที่ ภาคผนวก 5 ค่าของมุมและเวลาหน่วงในช่วงที่สัญญาณที่เป็นโลจิก “1”

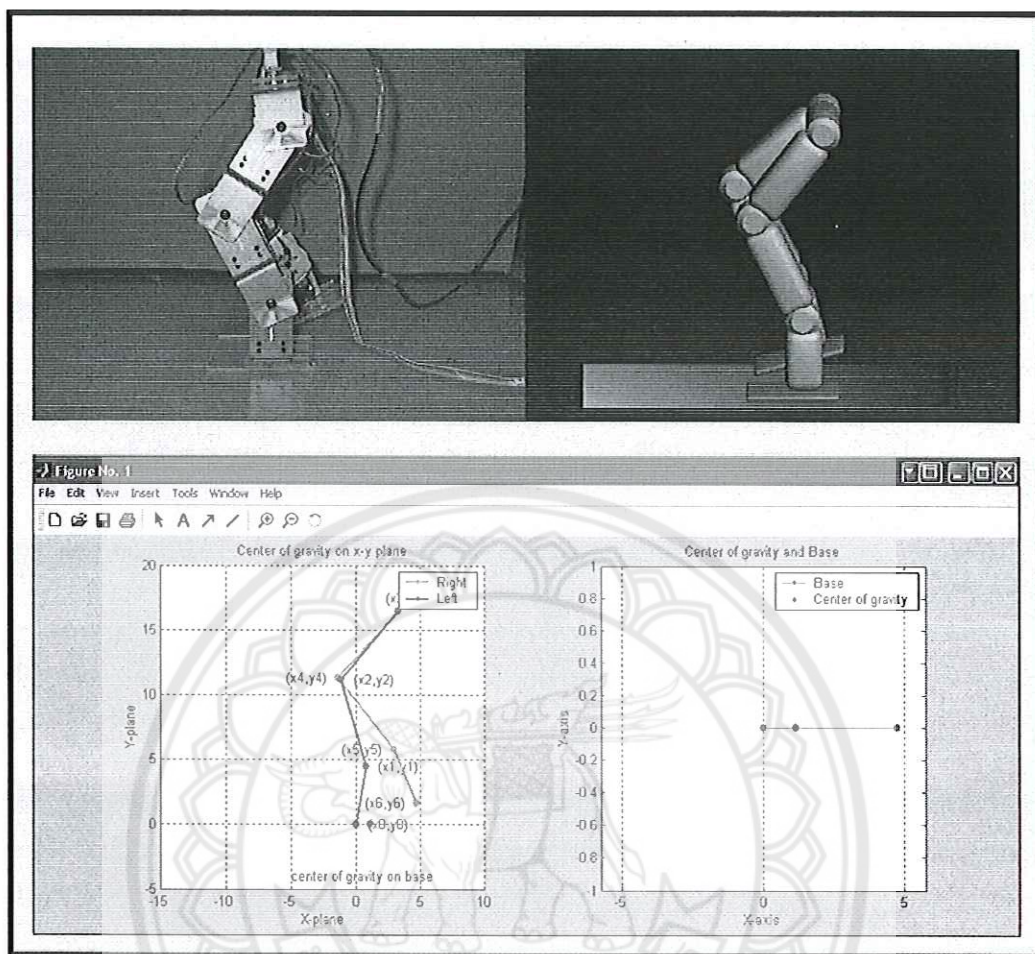
	มุม		เวลาหน่วงในช่วงที่สัญญาณที่เป็นโลจิก “1”	
	ขวา	ซ้าย	ขวา	ซ้าย
ขาท่อนบน	32	66	1791.2	859.8
ขาท่อนกลาง	-63	-85	895.2	2231
ขาท่อนล่าง	32	-7	1797.6	1565.1



รูปที่ ภาคผนวก 6 การเบริญบทีบระหว่างมุนที่ต้องการกับมุนที่ได้จากการทดลองจริง และ กราฟแสดงตำแหน่งจุดศูนย์ถ่วงมวล

ตารางที่ ภาคผนวก 6 ค่าของมุนและเวลาหน่วงในช่วงที่สัญญาณที่เป็นโลจิก “1”

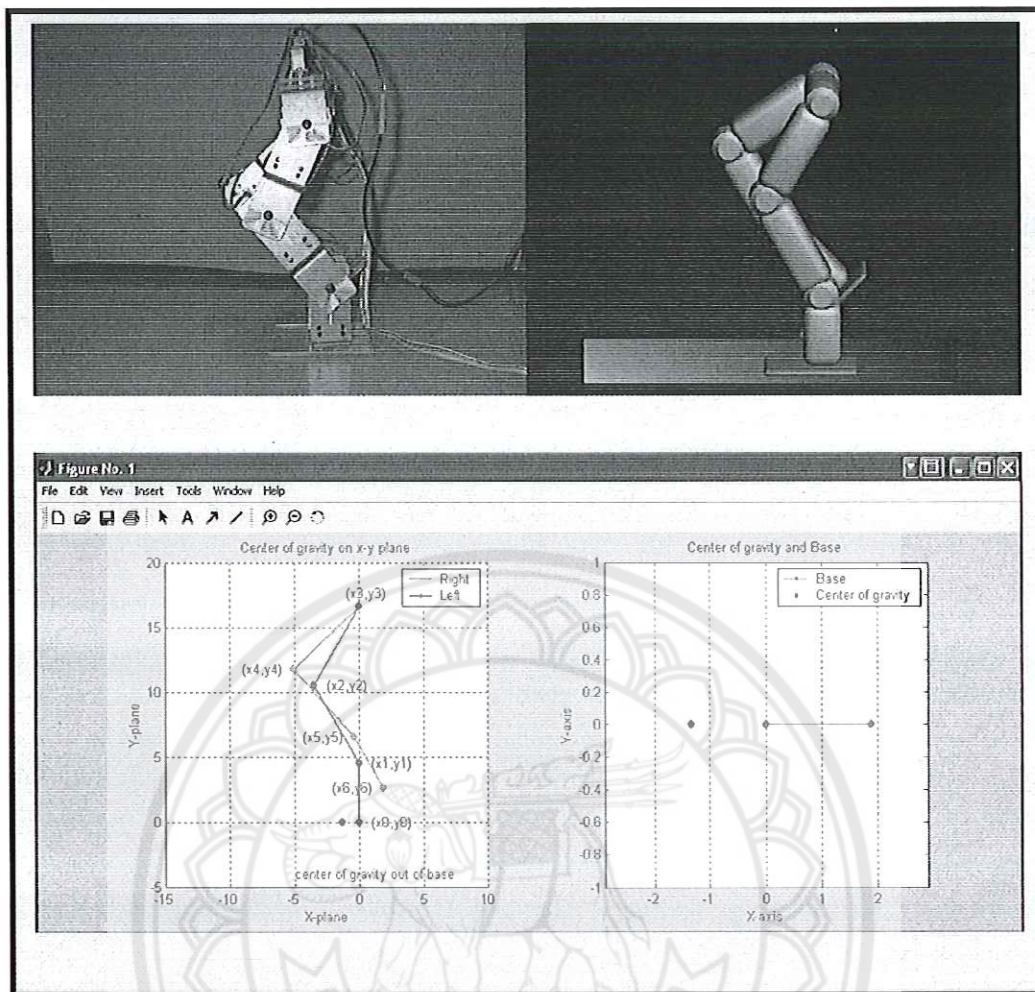
	มุน		เวลาหน่วงในช่วงที่สัญญาณที่เป็นโลจิก “1”	
	ขวา	ซ้าย	ขวา	ซ้าย
ขาท่อนบน	25	40	1727.5	1112
ขาท่อนกลาง	-60	-53	924	1955.8
ขาท่อนล่าง	32	18	1797.6	1332.6



รูปที่ ภาคผนวก 7 การเบริ่บเนทีบันระหว่างมุมที่ต้องการกับมุมที่ได้จากการทดสอบจริง และ กราฟแสดงตำแหน่งจุดศูนย์ถ่วงมวล

ตารางที่ ภาคผนวก 7 ค่าของมุมและเวลาหน่วงในช่วงที่สัญญาณที่เป็นลอจิก “1”

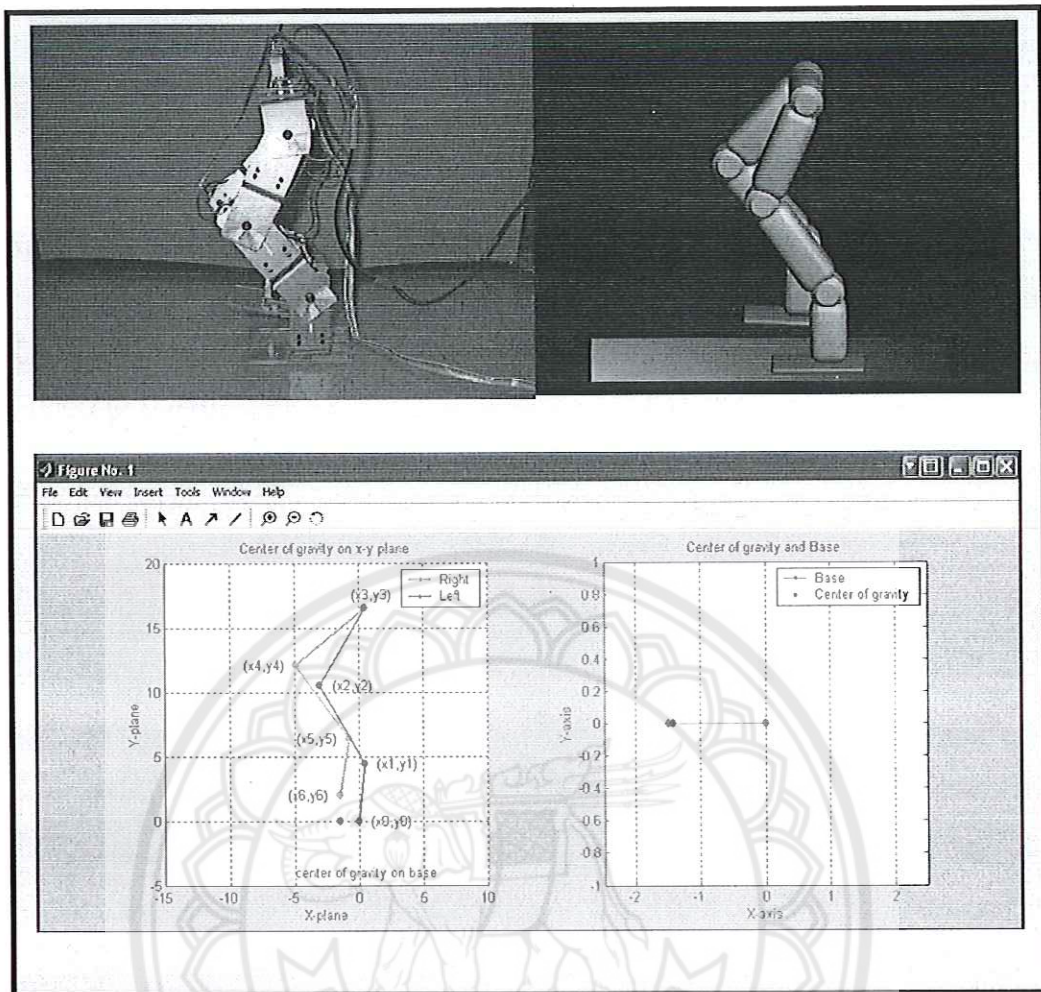
	มุม		เวลาหน่วงในช่วงที่สัญญาณที่เป็นลอจิก “1”	
	ขวา	ซ้าย	ขวา	ซ้าย
ขาท่อนบน	42	40	1882.2	1112
ขาท่อนกลาง	-80	-56	732	1981.6
ขาท่อนล่าง	15	26	1639.5	1258.2



รูปที่ ภาคผนวก 8 การเปรียบเทียบระหว่างมุนที่ต้องการกับมุนที่ได้จากการทดลองจริง และ กราฟแสดงตำแหน่งจุดศูนย์ถ่วงมวล

ตารางที่ ภาคผนวก 8 ค่าของมุนและเวลาหน่วงในช่วงที่สัญญาณที่เป็นลอดจิก “1”

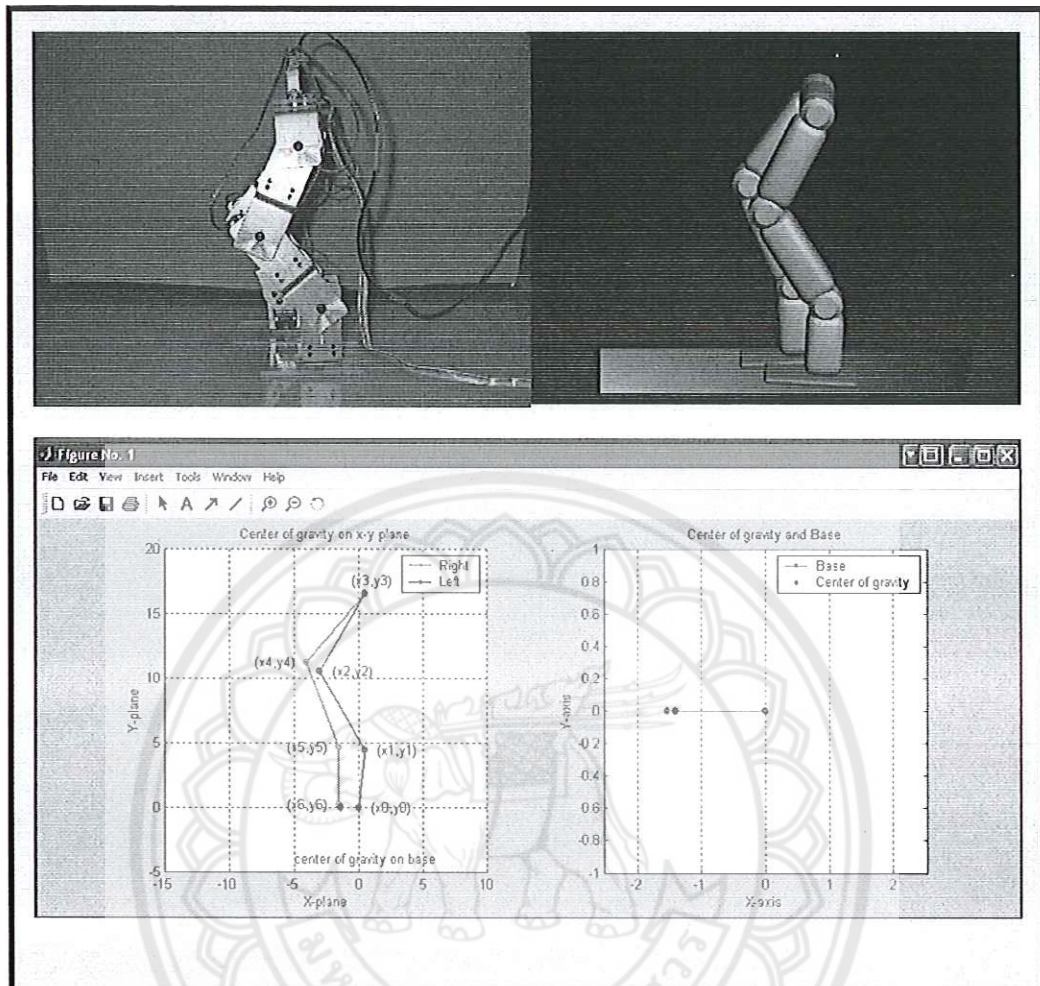
	มุน		เวลาหน่วงในช่วงที่สัญญาณที่เป็นลอดจิก “1”	
	ขวา	ซ้าย	ขวา	ซ้าย
ขาท่อนบน	46	30	1918.6	1209
ขาท่อนกลาง	-88	-60	655.2	2016
ขาท่อนล่าง	-12	30	1387.2	1221



รูปที่ ภาคผนวก 9 การเบรี่ยนเที่ยบระหว่างมุมที่ต้องการกับมุมที่ได้จากการทดลองจริง และ กราฟ
แสดงตำแหน่งจุดศูนย์ต่ำงมวล

ตารางที่ ภาคผนวก 9 ค่าของมุมและเวลาหน่วงในช่วงที่สัญญาณที่เป็นลอจิก “1”

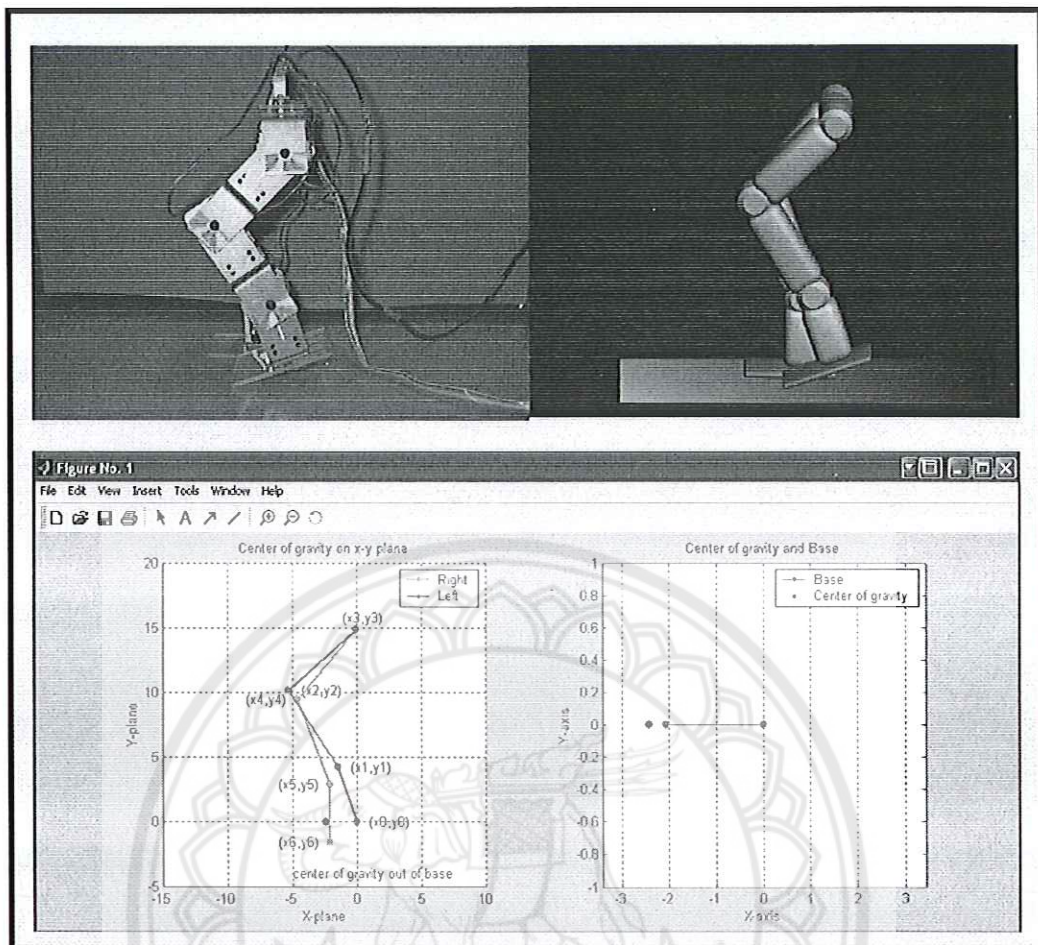
	มุม		เวลาหน่วงในช่วงที่สัญญาณที่เป็นลอจิก “1”	
	ขาขวา	ขาซ้าย	ขาขวา	ขาซ้าย
ขาท่อนบน	50	30	1955	1209
ขาท่อนกลาง	-86	-60	674.4	2016
ขาท่อนล่าง	45	36	1918.5	1165.2



รูปที่ ภาคผนวก 10 การเปรียบเทียบระหว่างมุมที่ต้องการกับมุมที่ได้จากการทดลองจริง และ กราฟแสดงตำแหน่งจุดศูนย์ต่อไปนี้

ตารางที่ ภาคผนวก 10 ค่าของมุมและเวลาหน่วงในช่วงที่สัญญาณที่เป็นคลื่นซิก “1”

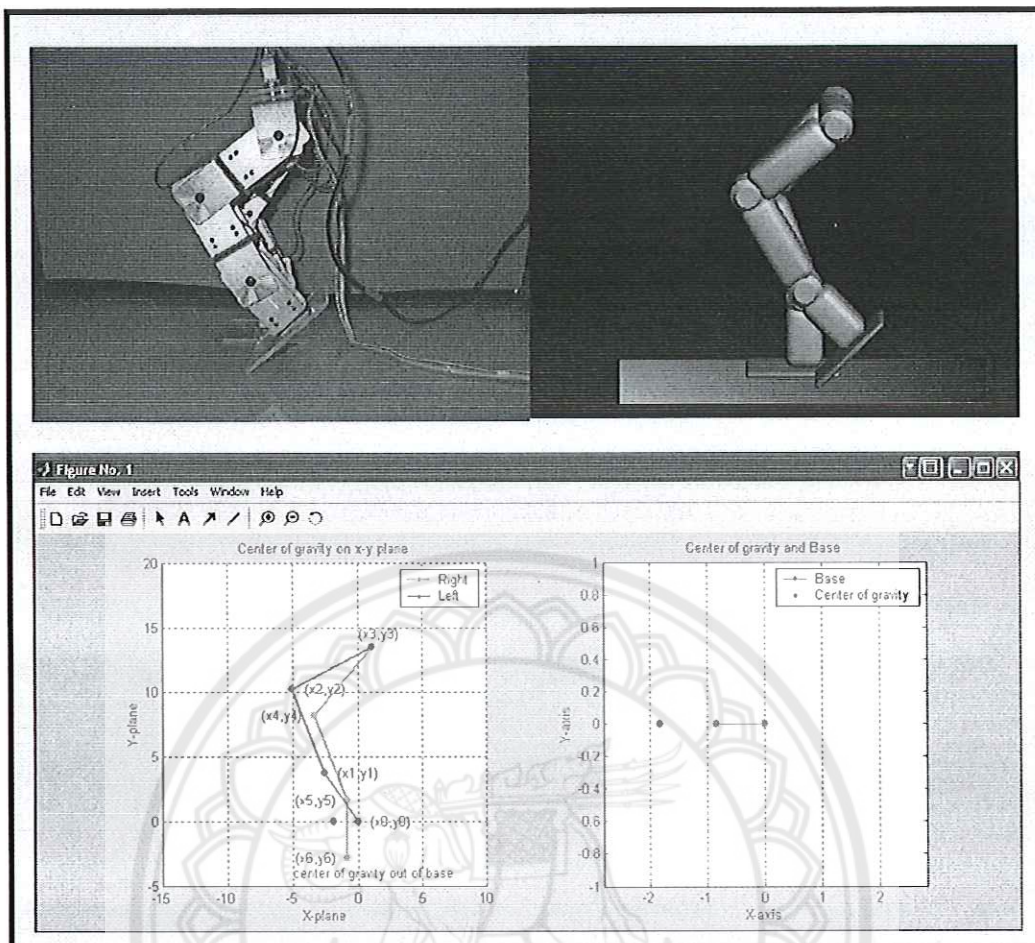
	มุม		เวลาหน่วงในช่วงที่สัญญาณที่เป็นคลื่นซิก “1”	
	ขวา	ซ้าย	ขวา	ซ้าย
ขาท่อนบน	40	30	1864	1209
ขาท่อนกลาง	-61	-60	914.4	2016
ขาท่อนล่าง	21	36	1695.3	1165.2



รูปที่ ภาคผนวก 11 การเปรียบเทียบระหว่างมุมที่ต้องการกับมุมที่ได้จากการทดลองจริง และ กราฟแสดงตำแหน่งจุดศูนย์ถ่วงมวล

ตารางที่ ภาคผนวก 11 ค่าของมุมและเวลาหน่วงในช่วงที่สัญญาณที่เป็นลอจิก “1”

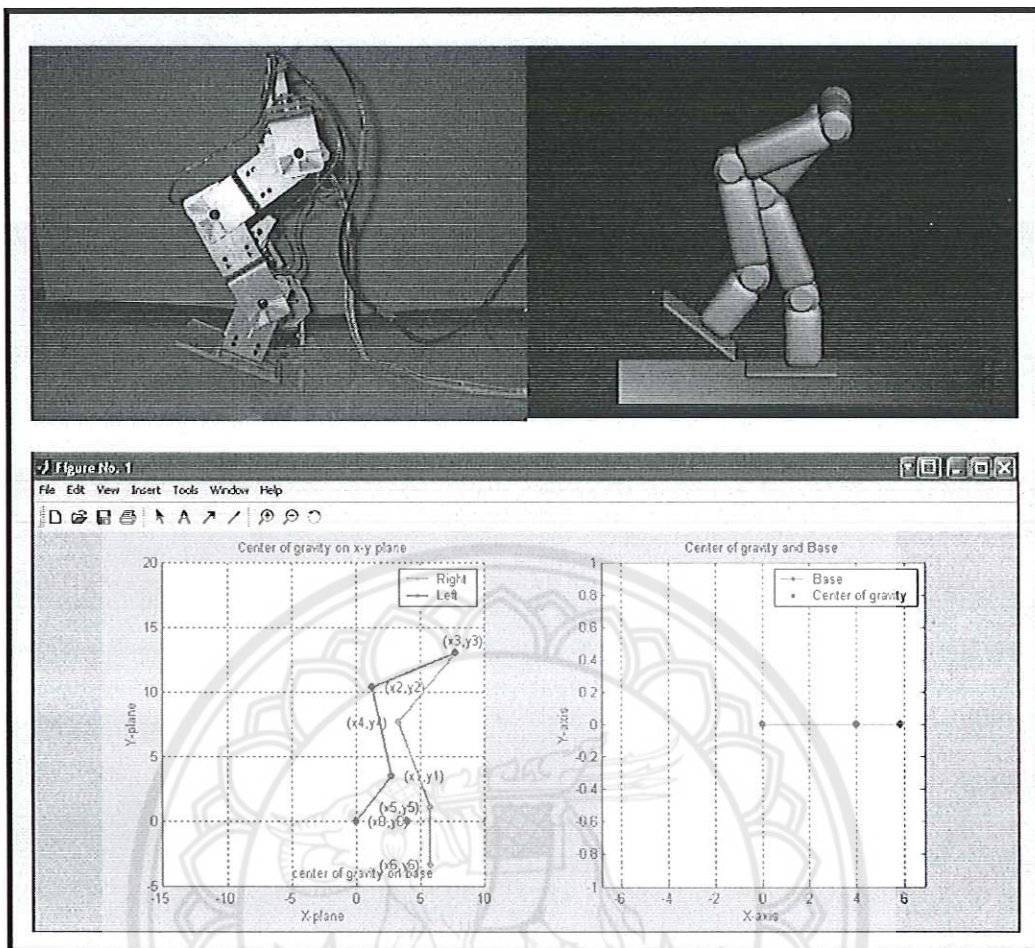
	มุม		เวลาหน่วงในช่วงที่สัญญาณที่เป็นลอจิก “1”	
	ขาขวา	ขาซ้าย	ขาขวา	ขาซ้าย
ขาท่อนบน	40	48	1864	1034.4
ขาท่อนกลาง	-61	-81	914.4	2196.6
ขาท่อนล่าง	21	14	1695.3	1369.8



รูปที่ ภาคผนวก 12 การเปรียบเทียบระหว่างมุมที่ต้องการกับมุมที่ได้จากการทดลองจริง และ กราฟแสดงตำแหน่งจุดศูนย์ถ่วงมวล

ตารางที่ ภาคผนวก 12 ค่าของมุมและเวลาหน่วงในช่วงที่สัญญาณที่เป็นลอจิก “1”

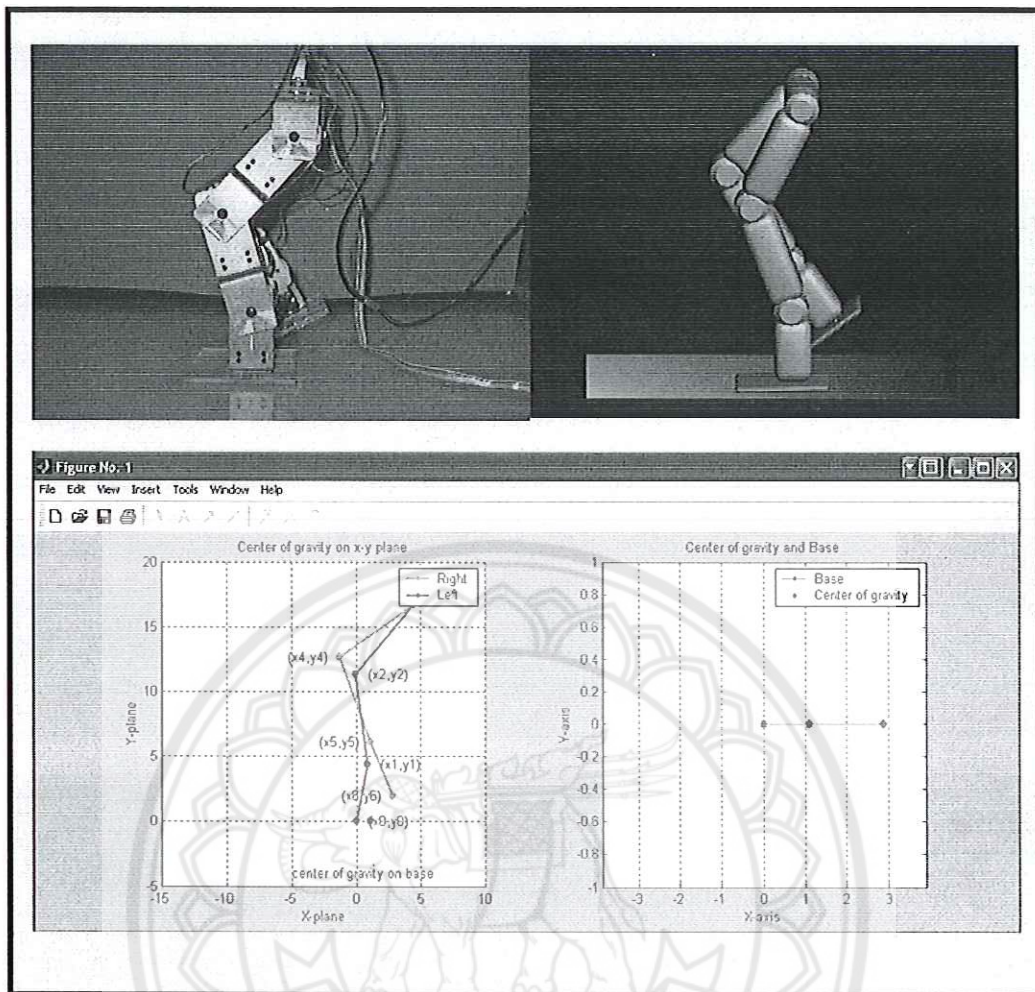
	มุม		เวลาหน่วงในช่วงที่สัญญาณที่เป็นลอจิก “1”	
	ขวา	ซ้าย	ขวา	ซ้าย
ขาท่อนบน	40	62	1864	898.6
ขาท่อนกลาง	-61	-83	914.4	2213.8
ขาท่อนล่าง	21	-13	1695.3	1620.9



รูปที่ ภาคผนวก 13 การเปรียบเทียบระหว่างมุมที่ต้องการกับมุมที่ได้จากการทดลองจริง และ กราฟแสดงตำแหน่งจุดศูนย์กลางมวล

ตารางที่ ภาคผนวก 13 ค่าของมุมและเวลาหน่วงในช่วงที่สัญญาณที่เป็นลอจิก “1”

	มุม		เวลาหน่วงในช่วงที่สัญญาณที่เป็นลอจิก “1”	
	ขวา	ซ้าย	ขวา	ซ้าย
ขาท่อนบน	40	68	1864	840.4
ขาท่อนกลาง	-61	-80	914.4	2188
ขาท่อนล่าง	21	50	1695.3	1035

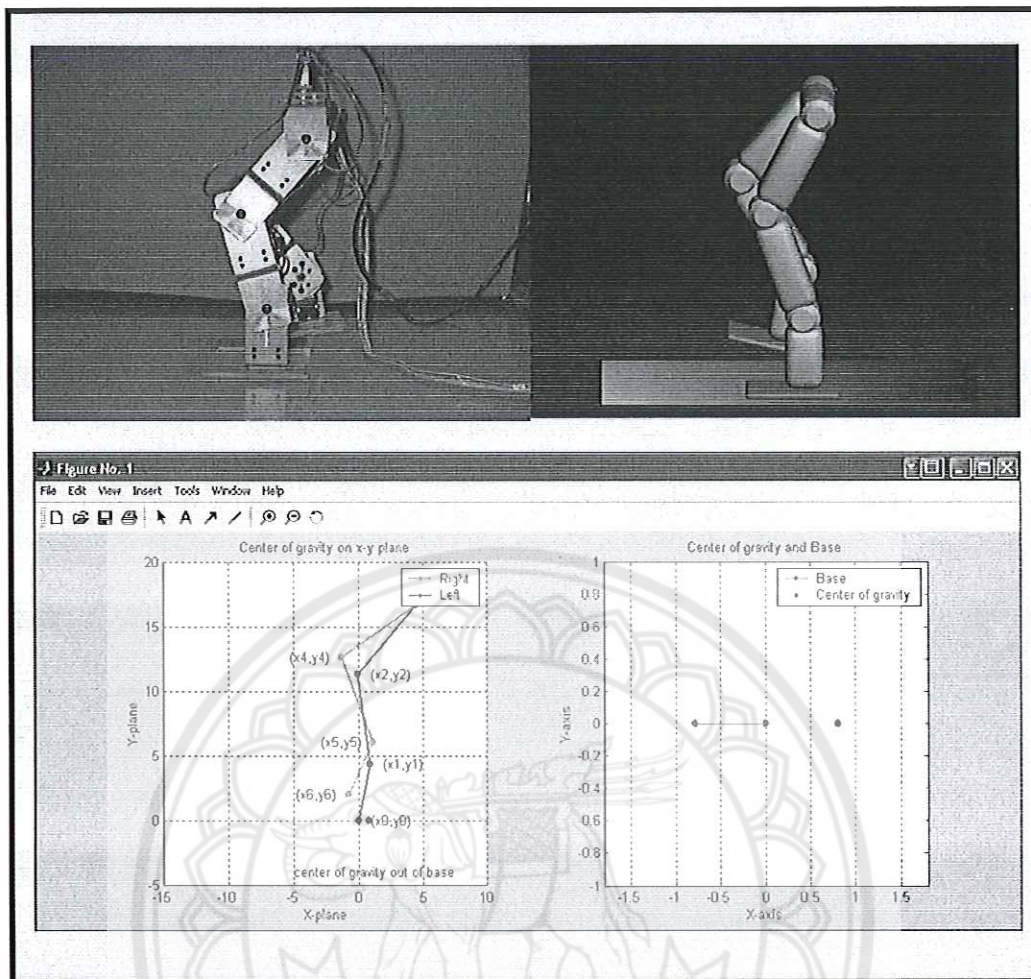


รูปที่ ภาคผนวก 14 การเปรียบเทียบระหว่างมุมที่ต้องการกับมุมที่ได้จากการทดลองจริง และ กราฟ

แสดงตำแหน่งของจุดศูนย์ถ่วงมวล

ตารางที่ ภาคผนวก 14 ค่าของมุมและเวลาหน่วงในช่วงที่สัญญาณที่เป็นลอจิก “1”

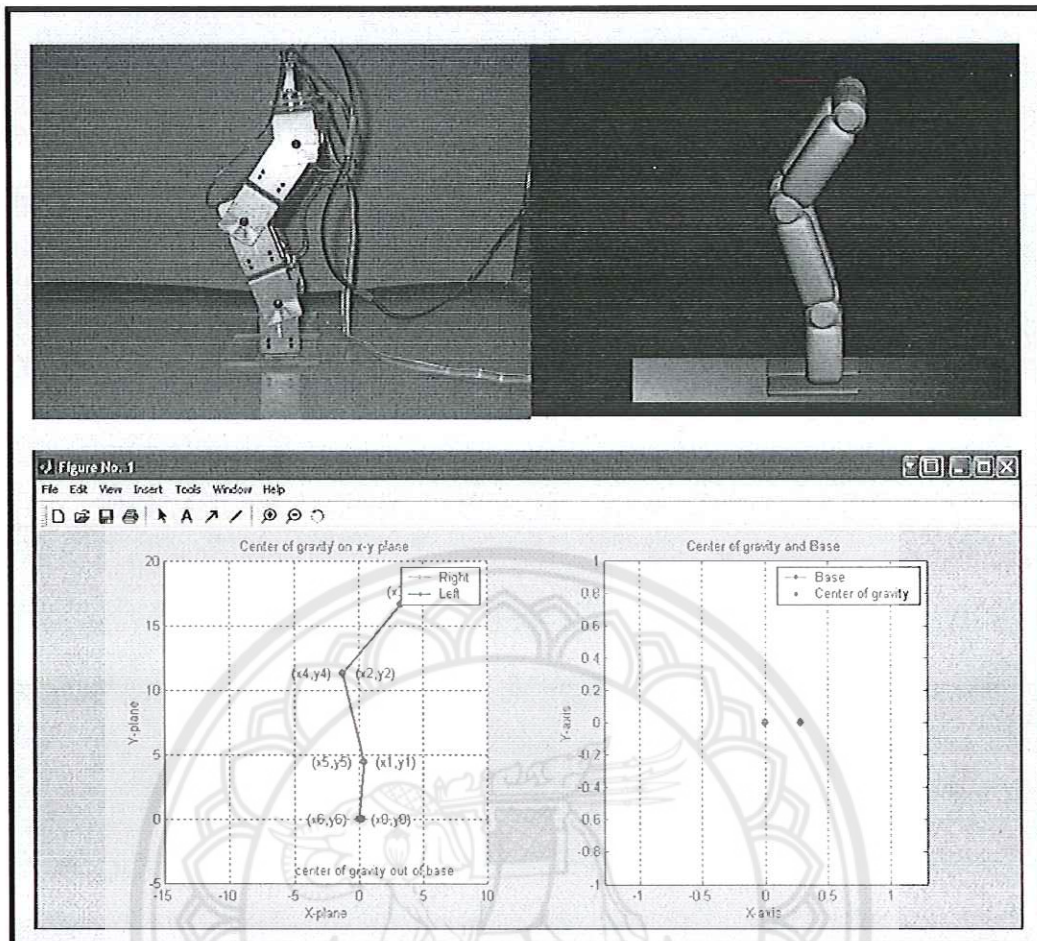
	มุม		เวลาหน่วงในช่วงที่สัญญาณที่เป็นลอจิก “1”	
	ขวา	ซ้าย	ขวา	ซ้าย
ขาท่อนบน	55	40	2000.5	1112
ขาท่อนกลาง	-75	-48	780	1912.8
ขาท่อนล่าง	-3	20	1471.8	1314



รูปที่ ภาคผนวก 15 การเปรียบเทียบระหว่างมุมที่ต้องการกับมุมที่ได้จากการทดลองจริง และ กราฟแสดงตำแหน่งจุดศูนย์ถ่วงมวล

ตารางที่ ภาคผนวก 15 ค่าของมุมและเวลาหน่วงในช่วงที่สัญญาณที่เป็นลอจิก “1”

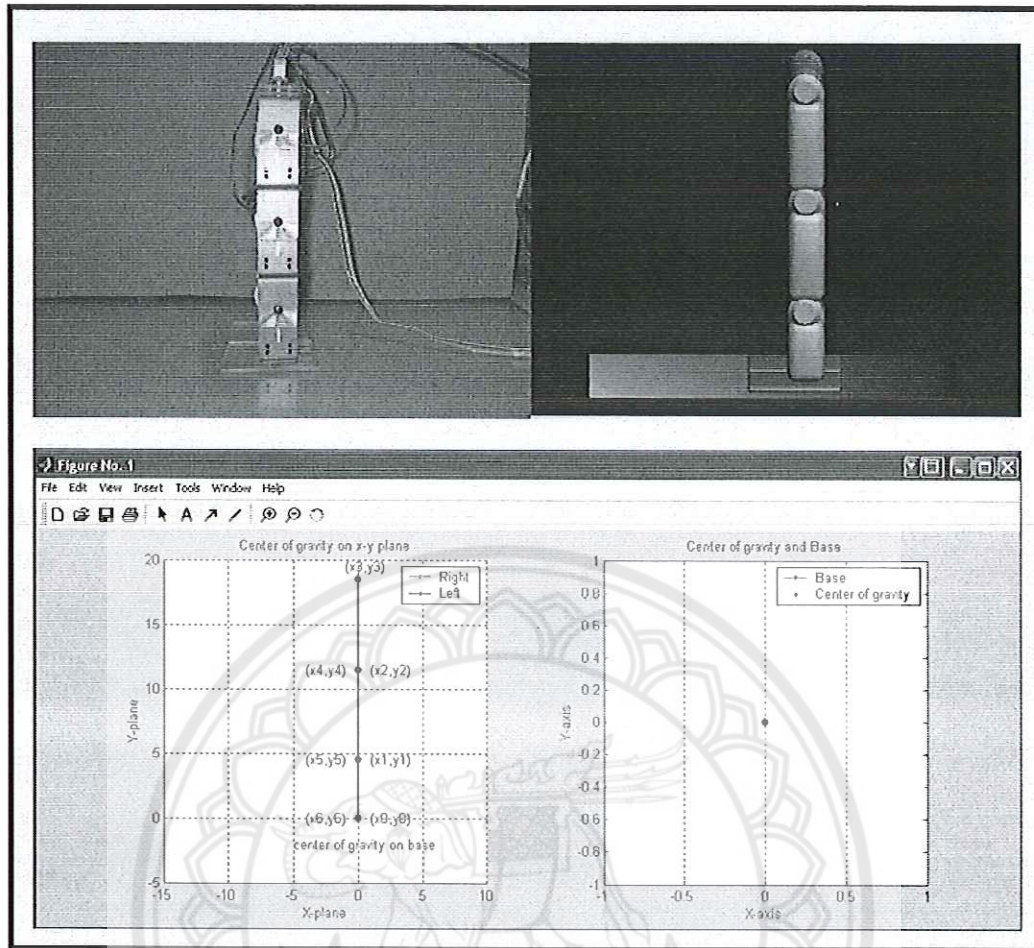
	มุม		เวลาหน่วงในช่วงที่สัญญาณที่เป็นลอจิก “1”	
	ขวา	ซ้าย	ขวา	ซ้าย
ขาท่อนบน	55	40	2000.5	1112
ขาท่อนกลาง	-75	-48	780	1912.8
ขาท่อนล่าง	45	20	1918.5	1314



รูปที่ ภาคผนวก 16 การเปรียบเทียบระหว่างมุมที่ต้องการกับมุมที่ได้จากการทดลองจริง และ กราฟแสดงตำแหน่งจุดศูนย์ตัวงมวลด

ตารางที่ ภาคผนวก 16 ค่าของมุมและเวลาหน่วงในช่วงที่สัญญาณที่เป็นลอจิก “1”

	มุม		เวลาหน่วงในช่วงที่สัญญาณที่เป็นลอจิก “1”	
	ขวา	ซ้าย	ขวา	ซ้าย
ขาท่อนบน	40	40	1864	1112
ขาท่อนกลาง	-53	-53	991.2	1955.8
ขาท่อนล่าง	18	18	1667.4	1332.6



รูปที่ ภาคผนวก 17 การเบริญเทียนระหว่างมุมที่ต้องการกับมุมที่ได้จากการทดสอบจริง และ กราฟ
แสดงตำแหน่งจุดศูนย์ถ่วงมวล

ตารางที่ ภาคผนวก 17 ค่าของมุมและเวลาหน่วงในช่วงที่สัญญาณที่เป็นโลจิก “1”

	มุม		เวลาหน่วงในช่วงที่สัญญาณที่เป็นโลจิก “1”	
	ขวา	ซ้าย	ขวา	ซ้าย
ขาท่อนบน	0	0	1500	1500
ขาท่อนกลาง	0	0	1500	1500
ขาท่อนล่าง	0	0	1500	1500

ประวัติผู้เขียนโครงการ



ชื่อ นายกุwanarat トイบำรุง
ภูมิลำเนา 77 หมู่ 3 ต.หนองกระดึง อ.คีรีมาศ จ.สุโขทัย

ประวัติการศึกษา

- จบระดับมัธยมศึกษาจากโรงเรียนคีรีมาศพิทยาคม
- ปัจจุบันกำลังศึกษาในระดับปริญญาตรีชั้นปีที่ 4
สาขาวิชาศิวกรรมไฟฟ้า คณะวิศวกรรมศาสตร์
มหาวิทยาลัยนเรศวร

E-mail : nart_tob@hotmail.com



ชื่อ นายวัฒนพงษ์ คุยเพ็ญภูมิ
ภูมิลำเนา 89 หมู่ 3 ต.บ้านเพิ่ม อ.พاخาจ จ.เลย

ประวัติการศึกษา

- จบระดับมัธยมศึกษาจากโรงเรียนเลยพิทยาคม
- ปัจจุบันกำลังศึกษาในระดับปริญญาตรีชั้นปีที่ 4
สาขาวิชาศิวกรรมไฟฟ้า คณะวิศวกรรมศาสตร์
มหาวิทยาลัยนเรศวร

E-mail : ddyefactor@yahoo.com



ชื่อ นายสุรศักดิ์ ปินวรรณา
ภูมิลำเนา 56/2 หมู่ 8 ต.ประคุป้า อ.เมือง จ.ลำพูน

ประวัติการศึกษา

- จบระดับมัธยมศึกษาจากโรงเรียนจักรคำมหาหาร
- ปัจจุบันกำลังศึกษาในระดับปริญญาตรีชั้นปีที่ 4
สาขาวิชาศิวกรรมไฟฟ้า คณะวิศวกรรมศาสตร์
มหาวิทยาลัยนเรศวร

E-mail : iamantony_pin@hotmail.com



ชื่อ นายเอกสิทธิ์ รัชชะกุล
ภูมิลำเนา 85 หมู่ 3 ต.บางกระเบา อ.นครชัยศรี จ.นครปฐม
ประวัติการศึกษา

- จบระดับมัธยมศึกษาจาก โรงเรียนรัตนโกสินทร์สมโภชบรรณ
เวชศาลาฯ(ในพระสังฆราชูปถัมภ์)
- ปัจจุบันกำลังศึกษาในระดับปริญญาตรีชั้นปีที่ 4
สาขาวิชาวิศวกรรมไฟฟ้า คณะวิศวกรรมศาสตร์
มหาวิทยาลัยนเรศวร

E-mail : rutchahakul_a@hotmail.com

